

CMOS 模拟集成电路设计公式推导

Allen 著 （第二版）

因为书中部分公式没有给出完整的推导,有的也没有给出方程,其中部分例题只有结果,这里我们花了点时间,将书中这些不详细的地方,重新整理了一遍,希望对大家 CMOS 模拟集成电路的学习有所帮助。

说明:

1. 第一章、第二章中没有什么需要补充,所以这里就没有列出;
2. 公式推导为第三、四、五、六章;
3. 希望有人能够完成剩余的部分章节,对以后大家的学习会起到很大的帮助;
4. 因水平有限,在原理上还有需要改进的地方,恳请大家提出批评及建议

yangfanbunny@126.com ;

第三章

1、线性区——>饱和区 P61

MOS 管工作的这两个区，从 $i_D - v_{DS}$ 曲线中，我们可以看到，他们有一个临界点，那么在这个临界点上，他们的电流表达式应该是一致的，推导过程如下：
由于线性区的电流表达式为：

$$i_D = K_N \frac{W}{L} \left[(V_{GS} - V_T) - \frac{v_{DS}}{2} \right] v_{DS} \quad 0 < v_{DS} \leq V_{GS} - V_T$$

两个区的临界条件为 $v_{DS(sat)} = v_{GS} - V_T$ ，那么只要将该条件带至上式就可以得到饱和区的漏极电流（此漏极电流没有考虑沟道长度调制效应）

$$\text{得： } i_D = K_N \frac{W}{2L} (v_{GS} - V_T)^2 \quad 0 < v_{GS} - V_T \leq v_L$$

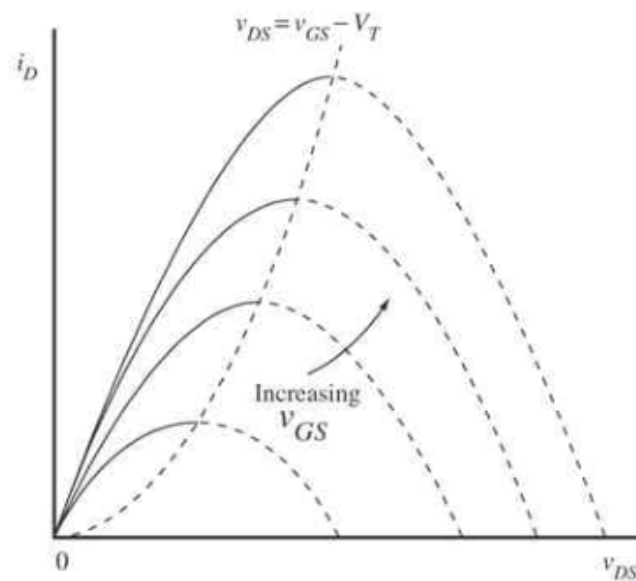


图 1 MOS 管的 $i_D - v_{DS}$ 曲线

2、MOS 跨导常见的几种表达形式

$$\text{形式 1: } g_m = \frac{\partial i_D}{\partial v_{GS}} = K \frac{W}{L} (v_{GS} - V_T) (1 + \lambda v_{DS})$$

(跨导的定义：考虑了沟道长度调制效应)

下面一种形式忽略了沟道长度调制效应

$$\text{形式 2: } g_m = K \frac{W}{L} (v_{GS} - V_T) = \frac{2i_D}{v_{GS} - V_T} = \sqrt{2K \frac{W}{L} i_D} = \sqrt{2\beta i_D}$$

$$(\text{其中 } i_D = K \frac{W}{2L} (v_{GS} - V_T)^2)$$

3、MOS 管的沟道电导

$$g_{ds} = \frac{\partial i_D}{\partial v_{DS}} = K \frac{W}{L} (v_{GS} - V_T)^2 \times \lambda = \frac{i_D}{1 + \lambda v_{DS}} \times \lambda \cong \frac{1}{r_{ds}}$$

$$\text{其中饱和区漏极电流 } I_D = K_N \frac{W}{2L} (V_{GS} - V_T)^2 (1 + \lambda V_{DS}),$$

一般称 r_{ds} 为 MOS 管的输出电阻，有些书中为 r_0

4、例 3.3-1 ， P72

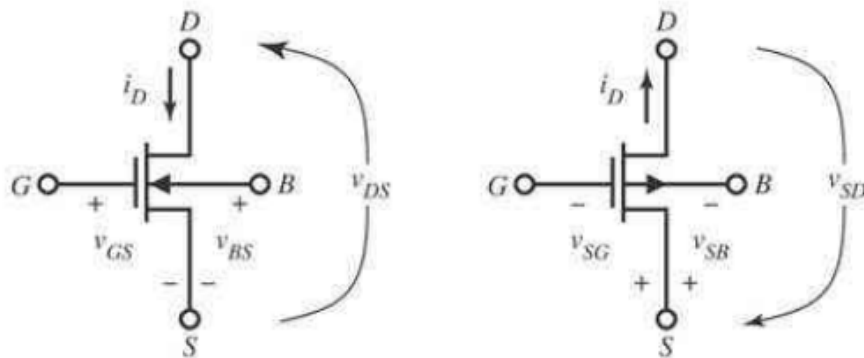


图 2 N 型、P 型 MOS 管的常用正符号

该例题只要把书中表 3.3-1 的公式代入数值计算即可：

N 管为：

$$g_m = \sqrt{2k' I_D W / L} = \sqrt{2 * 110 \mu A / V^2 * 50 \mu A} \cong 105 \mu A / V$$

$$g_{mb} = \frac{\gamma \sqrt{2I_D \beta}}{2\sqrt{2|\phi_F| + |V_{SB}|}} = \frac{0.4V^{\frac{1}{2}} \sqrt{2 \times 50 \mu A \times 110 \mu A / V^2}}{2\sqrt{0.7V + 2V}} \cong 12.8 \mu A / V$$

$$g_{ds} \cong \lambda I_D = 0.04V^{-1} \times 50\mu A = 2\mu A/V$$

P 管为:

$$g_m = \sqrt{2k' I_D W / L} = \sqrt{2 * 50\mu A/V^2 * 50\mu A} \cong 70.7\mu A/V$$

$$g_{mb} = \frac{\gamma \sqrt{2I_D \beta}}{2\sqrt{2|\phi_F| + |V_{SB}|}} = g_m \frac{\gamma}{2\sqrt{2|\phi_F| + |V_{SB}|}} = 70.7\mu A/V \frac{0.57V^{\frac{1}{2}}}{2\sqrt{0.7V + 2V}} \cong 12.0\mu A/V$$

$$g_{ds} \cong \lambda I_D = 0.05V^{-1} \times 50\mu A = 2.5\mu A/V$$

第四章

1、MOS 管的输出电阻，式 4.3-2，P103

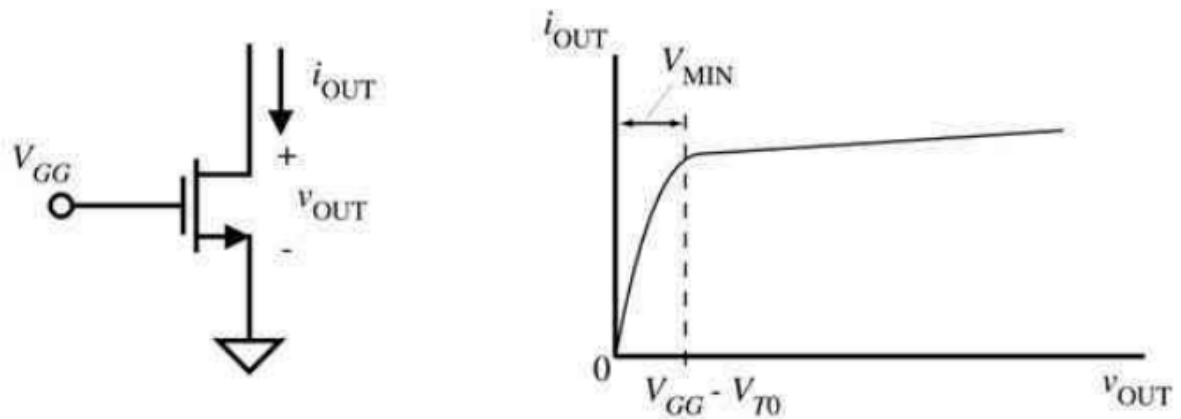


图3 电流漏及其电流电压特性

因为 MOS 管的饱和区漏极电流 $I_D = K_N \frac{W}{2L} (V_{GS} - V_T)^2 (1 + \lambda V_{DS})$,

$$\text{那么 } r_{out} = \frac{1}{\frac{\partial I_D}{\partial v_{DS}}} = \frac{1}{K_N \frac{W}{L} (v_{GS} - V_T)^2 \times \lambda} = \frac{1 + \lambda v_{DS}}{\lambda I_D} \cong \frac{1}{\lambda I_D} = \frac{1}{g_{ds}}$$

2、MOS 管的输出电压范围，式 4.3-3 ， P103

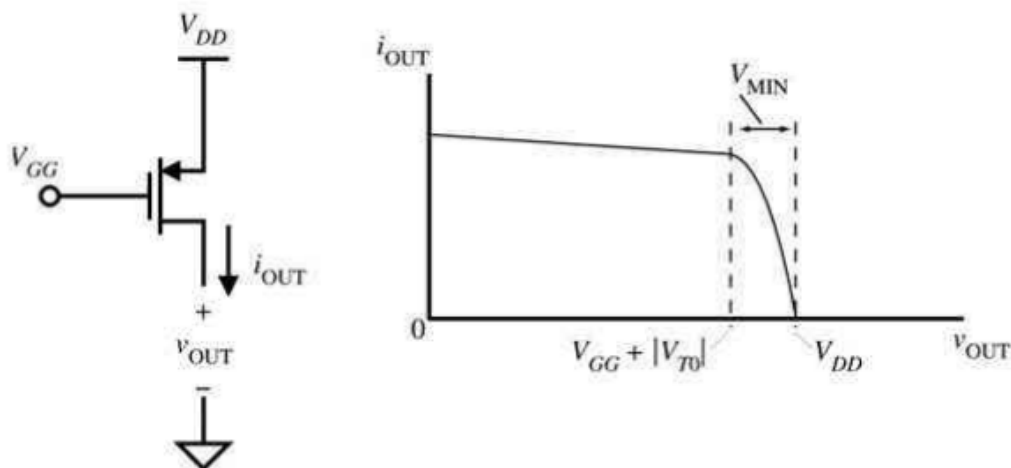


图4 电流源及其电流电压特性

Pmos 管的饱和条件为 $v_{SD} \geq v_{SG} - |V_p|$

则 $v_S - v_D \geq v_S - v_G - |V_p|$

$$v_D \leq v_G + |V_{TP}|$$

即 $v_{out} \leq v_{G1} + |V|$

3、式 4.3-4, P104

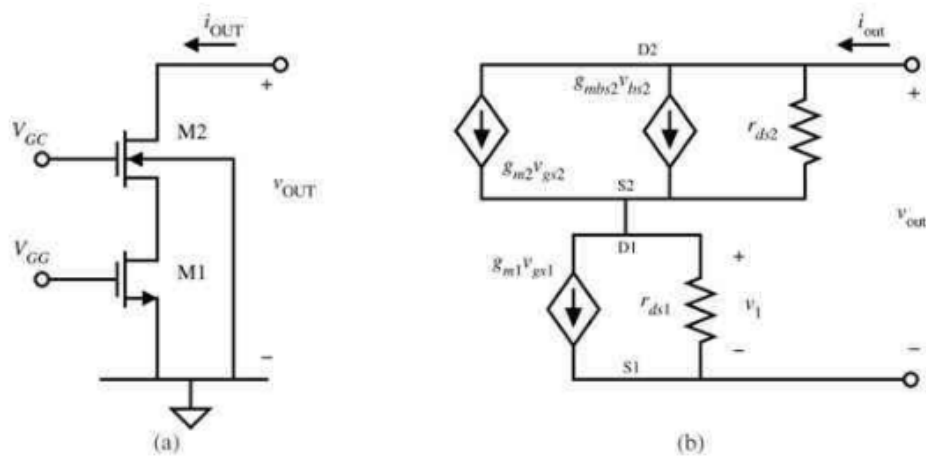


图5 CASCODE 结构及其小信号模型

使用节点法

$$i_{out} = g_{m2}v_{gs2} + g_{mb2}v_{bs2} + (v_{out} - i_{out}r)/r_{ds2}$$

$$i_{out}r_{ds2} = g_{m2}v_{gs2}r_{ds2} + g_{mb2}v_{bs2}r_{ds2} + v_{out} - i_{out}r$$

$$v_{out} = i_{out}(r_{ds2} + r) - (g_{m2}v_{gs2} + g_{mb2}v_{bs2})r_{ds2}$$

$$\text{其中 } v_{gs2} = v_{bs2} = -i_{out}r, \text{ 所以 } r_{out} = \frac{v_{out}}{i_{out}} = r + r_{ds2} + [(g_{m2} + g_{mb2})r_{ds2}]r$$

又因为一般情况下, $g_m \cong 10g_{mb} \cong 100g_{ds}$

所以有时在计算中常略去 g_{mb} 、 g_{ds} , 以后也会经常遇到这样的近似,

所以 $r_{out} \cong (g_{m2}r_{ds2})r$

注: CASCODE 结构很重要, 其输出电阻应做为结论来记忆

4、例 4.3-1 ， P105,

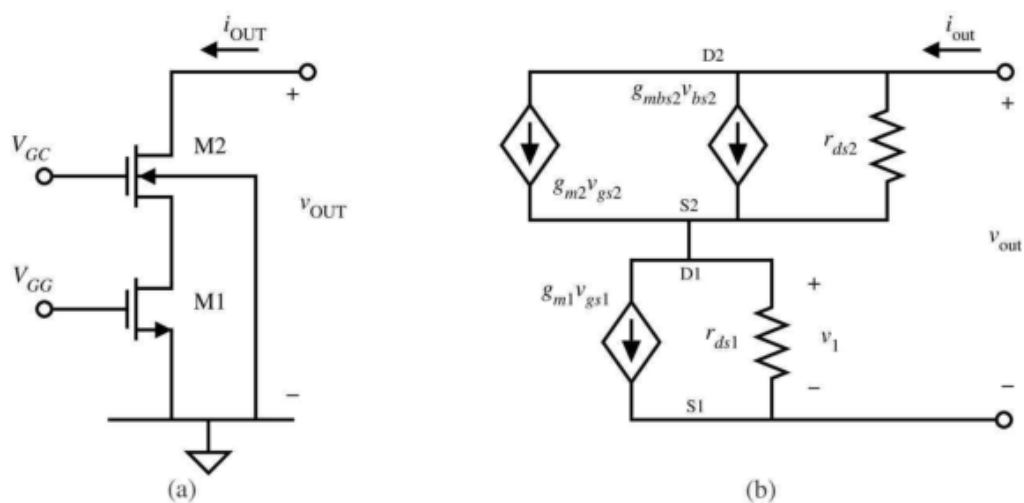


图 6 CASCODE 结构及其小信号模型

该例题的计算，只要将上面讲到的结论性的公式代入数值即可：

$$(a) \quad r_{out} \cong \frac{1}{\lambda I_D} = \frac{1}{0.04V^{-1} \times 100\mu A} = 250K\Omega$$

$$(b) \quad g_m = \sqrt{2k' I_D W / L} = \sqrt{2 \times 100\mu A / V^2 \times 100\mu A} \cong 148\mu A / V$$

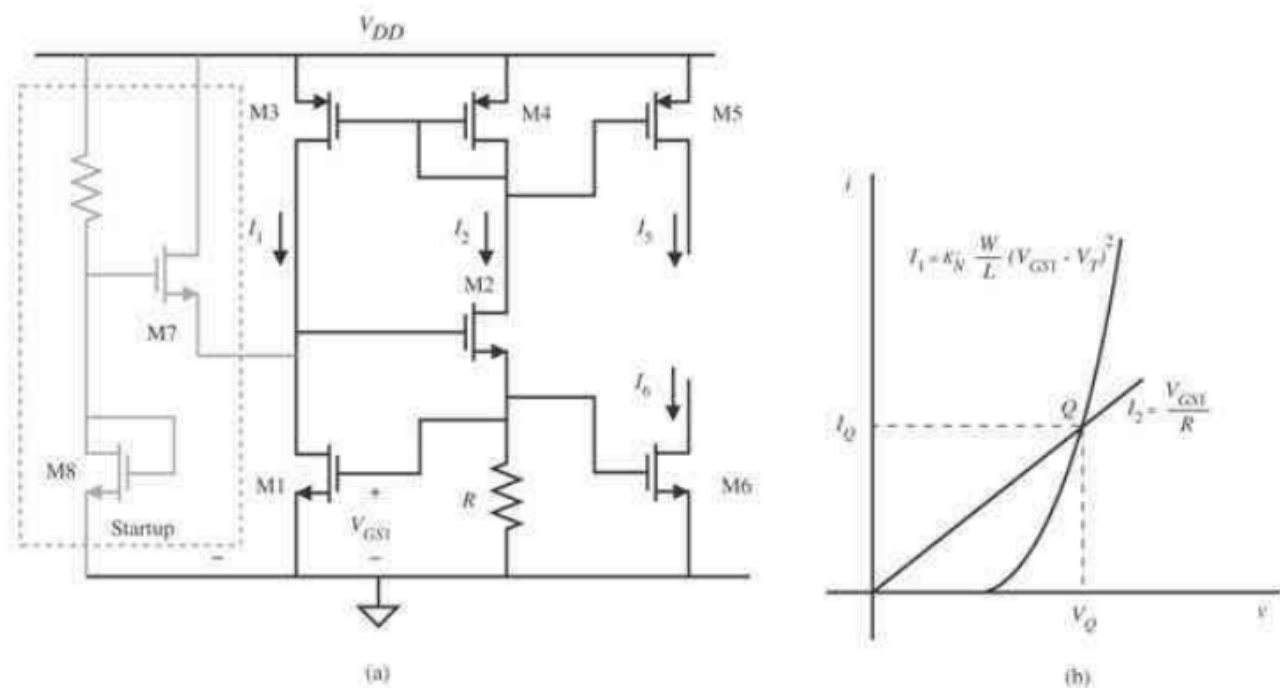
$$\text{所以 } r_{out} \cong (g_{m2} r_{ds2}) r_{ds1} = 148\mu A / V \times 250\Omega \times 250\Omega = 9.25M\Omega$$

5、式 4.5-12, P112

通过流过 M1 的电流和流过 R 的电流相等有：

$$I_1 = \frac{\beta}{2} (V_{GS} - V_T)^2 = I_2 = \frac{V_{GS1}}{R}$$

$$I_2 R = V_{GS1} = V_T + \sqrt{\frac{2I_1 L_1}{K_N W_1}}$$



6、威尔逊电流源的输出电阻，P114

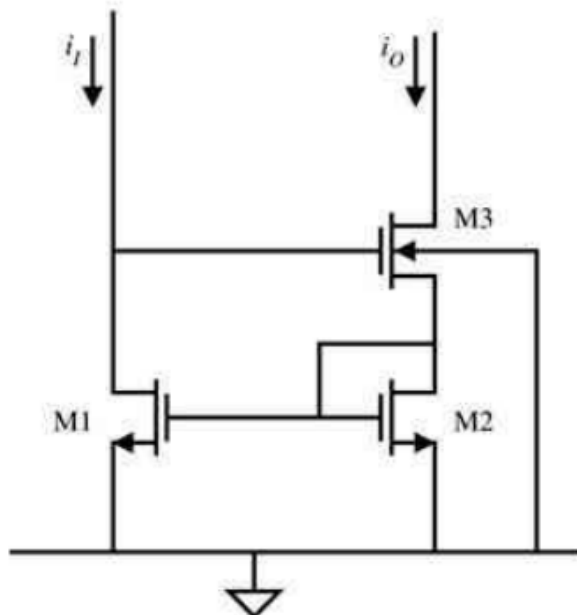


图7 威尔逊电流镜

该推导过程比较复杂,我们只要画出小信号模型,写出 $v_{out} - i_{out}$ 的方程就可以得到输出电阻,由小信号模型有:

$$v_{out} = (i_{out} - v_{gs3}g_{m3} - g_{mb3}v_{bs3})r_{ds3} + i_{out} \frac{r_{ds2}}{1 + g_{m2}r_{ds2}}$$

$$v_{out} = (r_{ds3} + \frac{r_{ds2}}{1 + g_{m2}r_{ds2}})i_{out} - (v_{gs3}g_{m3} + g_{mb3}v_{bs3})r_{ds3}$$

下面工作就是想办法把右边的等效为 i_{out} 与某项的乘积，然后 i_{out} 移至左边，剩下的就是输出电阻。看上式，我们能够做的就是将右边第二项中的电压项，替换为有 i_{out} 的项。

$$v_{gs3} = -g_{m1}v_{gs1}r_{ds1} - i_{out} \frac{r_{ds2}}{1 + g_{m2}r_{ds2}}$$

$$v_{gs1} = v_{gs2} = -v_{bs3} = i_{out} \frac{r_{ds2}}{1 + g_{m2}r_{ds2}}$$

将这两项带入到上面的 v_{out} 中，得到：

$$v_{out} = (i_{out} - v_{gs3}g_{m3} - g_{mb3}v_{bs3})r_{ds3} + \frac{r_{ds2}}{1 + g_{m2}r_{ds2}}i_{out}$$

$$v_{out} = (r_{ds3} + \frac{r_{ds2}}{1 + g_{m2}r_{ds2}})i_{out} - (v_{gs3}g_{m3} + g_{mb3}v_{bs3})r_{ds3}$$

$$v_{out} = (r_{ds3} + \frac{r_{ds2}}{1 + g_{m2}r_{ds2}})i_{out} - [(-g_{m1}v_{gs1}r_{ds1} - i_{out} \frac{r_{ds2}}{1 + g_{m2}r_{ds2}})g_{m3} - g_{mb3}v_{gs2}]r_{ds3}$$

$$v_{out} = (r_{ds3} + \frac{r_{ds2}}{1 + g_{m2}r_{ds2}})i_{out} - [(-g_{m1}i_{out} \frac{r_{ds2}}{1 + g_{m2}r_{ds2}}r_{ds1} - i_{out} \frac{r_{ds2}}{1 + g_{m2}r_{ds2}})g_{m3} - g_{mb3}i_{out} \frac{r_{ds2}}{1 + g_{m2}r_{ds2}}]r_{ds3}$$

$$v_{out} = (r_{ds3} + \frac{r_{ds2}}{1 + g_{m2}r_{ds2}})i_{out} - (-g_{m1}i_{out} \frac{r_{ds2}}{1 + g_{m2}r_{ds2}}r_{ds1}g_{m3} - i_{out} \frac{r_{ds2}}{1 + g_{m2}r_{ds2}}g_{m3})r_{ds3} + g_{mb3}i_{out} \frac{r_{ds2}}{1 + g_{m2}r_{ds2}}r_{ds3}$$

$$v_{out} = (r_{ds3} + \frac{r_{ds2}}{1 + g_{m2}r_{ds2}} + g_{m1}g_{m3} \frac{r_{ds2}}{1 + g_{m2}r_{ds2}}r_{ds1}r_{ds3} + g_{m3}r_{ds3} \frac{r_{ds2}}{1 + g_{m2}r_{ds2}} + \eta g_{m3} \frac{r_{ds2}}{1 + g_{m2}r_{ds2}}r_{ds3})i_{out}$$

$$v_{out} = [r_{ds3} + r_{ds2} (\frac{1 + g_{m1}g_{m3}r_{ds1}r_{ds3} + g_{m3}r_{ds3} + \eta g_{m3}r_{ds3}}{1 + g_{m2}r_{ds2}})]i_{out}$$

最终我们得到：

$$r_{out} = \frac{v_{out}}{i_{out}} = r_{ds3} + r_{ds2} (\frac{1 + g_{m1}g_{m3}r_{ds1}r_{ds3} + g_{m3}r_{ds3}(1 + \eta)}{1 + g_{m2}r_{ds2}})$$

7、有源器件实现的基准电压，图 4.5-2 (b)，P117

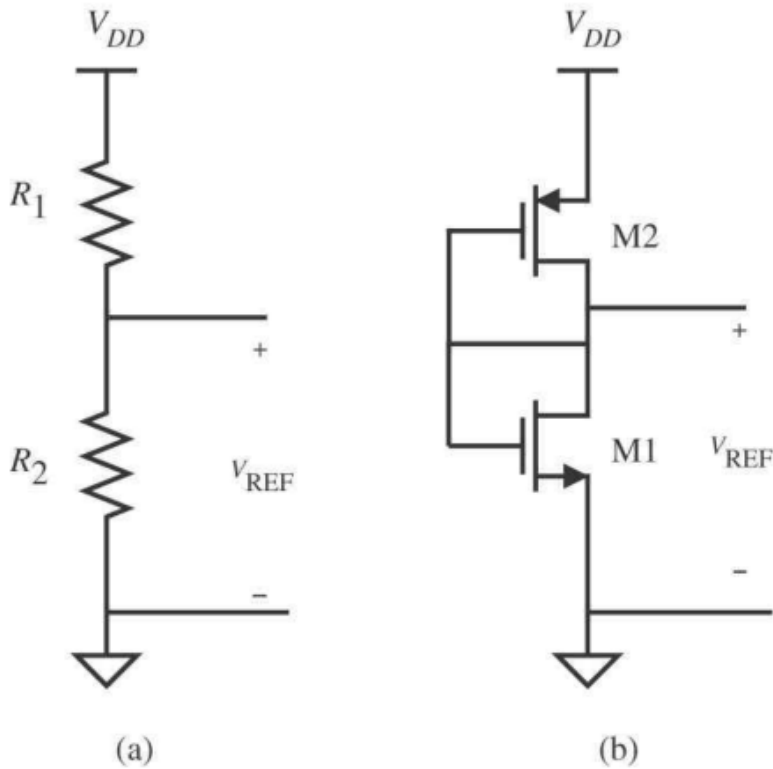


图 8 分压式基准电压

$$\beta_N (V_{REF} - V_T)^2 = \beta_P (V_{DD} - V_{REF} - |V_{TP}|)^2$$

$$\text{即 } \sqrt{\beta_N} (V_{REF} - V_T) = \sqrt{\beta_P} (V_{DD} - V_{REF} - |V_{TP}|)$$

法一：左边保留 V_{REF}

$$(\sqrt{\frac{\beta_N}{\beta_P}} + 1)V_{REF} = V_{DD} - |V_{TP}| + \sqrt{\frac{\beta_N}{\beta_P}} V_T$$

$$\text{所以 } V_{REF} = \frac{V_{DD} + \sqrt{\frac{\beta_N}{\beta_P}} V_T - |V_{TP}|}{\sqrt{\frac{\beta_N}{\beta_P}} + 1} \quad (1)$$

法二：右边保留 V_{REF}

$$-(\sqrt{\frac{\beta_P}{\beta_N}} + 1)V_{REF} = -V_T - \sqrt{\frac{\beta_P}{\beta_N}} (V_{DD} - |V_{TP}|)$$

$$\text{所以 } V_{REF} = \frac{V_T + \sqrt{\frac{\beta_P}{\beta_N}}(V_{DD} - |V_{TP}|)}{\sqrt{\frac{\beta_P}{\beta_N}} + 1} \quad (2)$$

(1)\(2\)其实是一样的，只要在（1）中分子分母同时乘以 $\sqrt{\frac{\beta_P}{\beta_N}}$ ，就可以化为（2）

8、式 4.5-5, P118

按照灵敏度的定义，代入对应的 V_{REF} 即可

$$S_{V_{DD}}^{V_{REF}} = \frac{V_{DD}}{V_{REF}} \left(\frac{\partial V_{REF}}{\partial V_{DD}} \right) = \frac{V_{DD}}{\frac{KT}{q} \ln \frac{V_{DD}}{R I_S}} \cdot \frac{KT}{q} \frac{R I_S}{V_{DD}} \frac{1}{V_{DD}} = \frac{1}{\ln \frac{V_{DD}}{R I_S}}$$

9、式 4.5-8, P119,

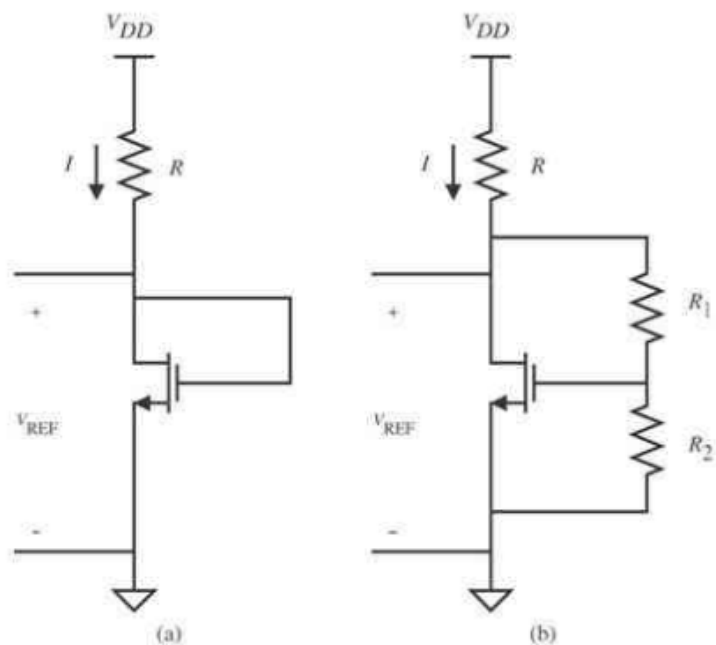


图9 基准电压

$$\frac{V_{DD} - V_{GS}}{R} = I_D = \frac{\beta}{2} (V_{GS} - V_T)^2$$

$$V_{GS} = V_{REF}$$

由以上两式有：

$$\frac{V_{DD} - V_{REF}}{R} = \frac{\beta}{2} (V_{REF} - V_T)^2$$

$$\frac{2}{R\beta} (V_{DD} - V_{REF}) = V_{REF}^2 - 2V_TV_{REF} + V_T^2$$

$$V_{REF}^2 + (\frac{2}{R\beta} - 2V_T)V_{REF} + V_T^2 - \frac{2}{R\beta}V_{DD}$$

$$\text{所以 } V_{REF} = \frac{2V_T - \frac{2}{R\beta} \pm \sqrt{(\frac{2}{R\beta} - 2V_T)^2 - 4(V_T^2 - \frac{2}{R\beta}V_{DD})}}{2}$$

$$V_{REF} = V_T - \frac{1}{R\beta} \pm \sqrt{(\frac{1}{R\beta} - V_T)^2 - V_T^2 + \frac{2}{R\beta}V_{DD}}$$

$$V_{REF} = V_T - \frac{1}{R\beta} \pm \sqrt{\frac{2(V_{DD} - V_T)}{R\beta} + \frac{1}{R^2\beta^2}}$$

而实际计算中会发现，取“—”项时， V_{REF} 会出现负值，故取“+”值

$$V_{REF} = V_T - \frac{1}{R\beta} + \sqrt{\frac{2(V_{DD} - V_T)}{R\beta} + \frac{1}{R^2\beta^2}}$$

10、式 4.5-8 下一行中的计算，P119

$$V_{REF} = 0.7V - \frac{1}{110\mu A/V^2 \times 2 \times 100K\Omega} + \sqrt{\frac{2(5V - 0.7V)}{110\mu A/V^2 \times 2 \times 100K\Omega} + (110\mu A/V^2 \times 2 \times 100K\Omega)^2}$$

$$V_{REF} \cong 1.281V$$

$$S_{V_{DD}}^{V_{REF}} = \frac{V_{DD}}{V_{REF}} \left(\frac{\partial V_{REF}}{\partial V_{DD}} \right) = \frac{V_{DD}}{V_{REF}} \left(\sqrt{\left[\frac{R\beta}{2} (V_{REF} - V_T)^2 + V_{REF} - V_T \right] (V_{REF} - V_T)^2 + 1} \right)^{-1}$$

$$S_{V_{DD}}^{V_{REF}} = \frac{V_{DD}}{V_{REF}} \sqrt{R^2\beta^2(V_{REF} - V_T)^2 + 2R\beta(V_{REF} - V_T) + 1}$$

$$S_{V_{DD}}^{V_{REF}} = \frac{1}{R\beta(V_{REF} - V_T) + 1} \frac{V_{DD}}{V_{REF}}$$

代入值得：

$$S = \frac{1}{110\mu A/V^2 \times 2 \times 100K\Omega \times (1.281V - 0.7V) + 1} \times \frac{5V}{1.281V} \cong 0.283$$

11、 P122,式 4.5-13

$$I_1 = \frac{\beta}{2}(V_{GS} - V_T)^2 = \frac{\beta_1}{2}(I_2 R - V_T)^2 = \frac{\beta_1}{2}(I_1 R - V_T)^2$$

两边取平方

$$I_2^2 - \left(\frac{2V_{T1}}{R} + \frac{2}{R^2\beta}\right) I_2 + \frac{V_{T1}^2}{R^2} = 0$$

$$I_2 = \frac{V_{T1}}{R} + \frac{1}{R^2\beta_1} \pm \frac{1}{2} \sqrt{\left(\frac{2V_{T1}}{R} + \frac{2}{R^2\beta}\right)^2 - \frac{4V_{T1}^2}{R^2}}$$

取 “+” 项得平衡点电流

$$I_Q = I_2 = \frac{V_{T1}}{R} + \frac{1}{\beta_1 R^2} + \frac{1}{R} \sqrt{\frac{2V_{T1}}{\beta_1 R} + \frac{1}{\beta_1^2 R^2}}$$

12、 式 4.5-16, P123

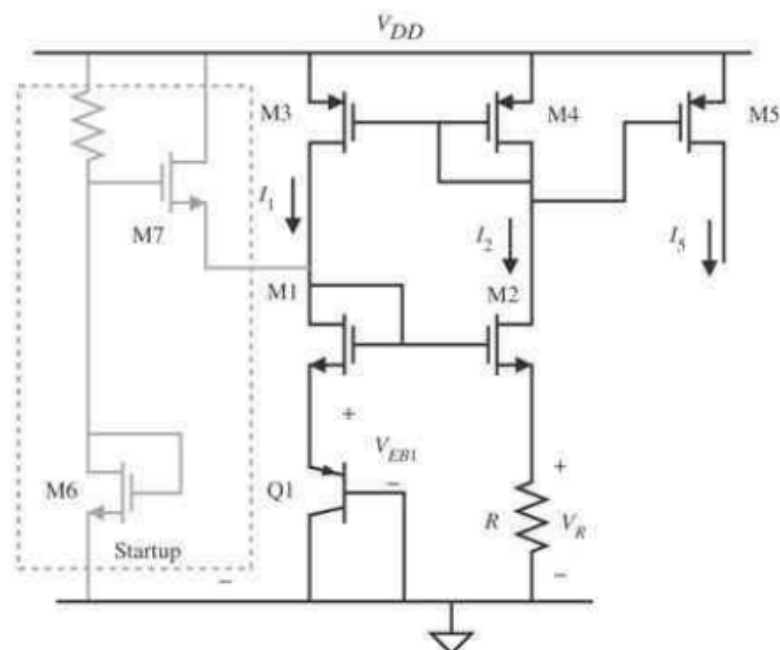


图 10 基于发射极电压的基准电路

由式 2.5-17 $\frac{dv_D}{dT} = -\frac{V_{G0} - V_D}{T} - \frac{3V_T}{T}$

以及式 4.5-4 $V_{REF} = \frac{KT}{q} \ln \frac{V_{DD}}{RI_S}$

得到式 4.5-16

$$TC_F = \frac{1}{V_{REF}} \frac{\partial V_{REF}}{\partial T} \cong \frac{V_{REF} - V_{G0}}{V_{REF} \times T} - \frac{3K}{V_{REF} \times q} - \frac{KT}{V_{REF} \times q} \left(\frac{1}{R} \frac{dR}{dT} \right)$$

13、P128，式 4.6-24

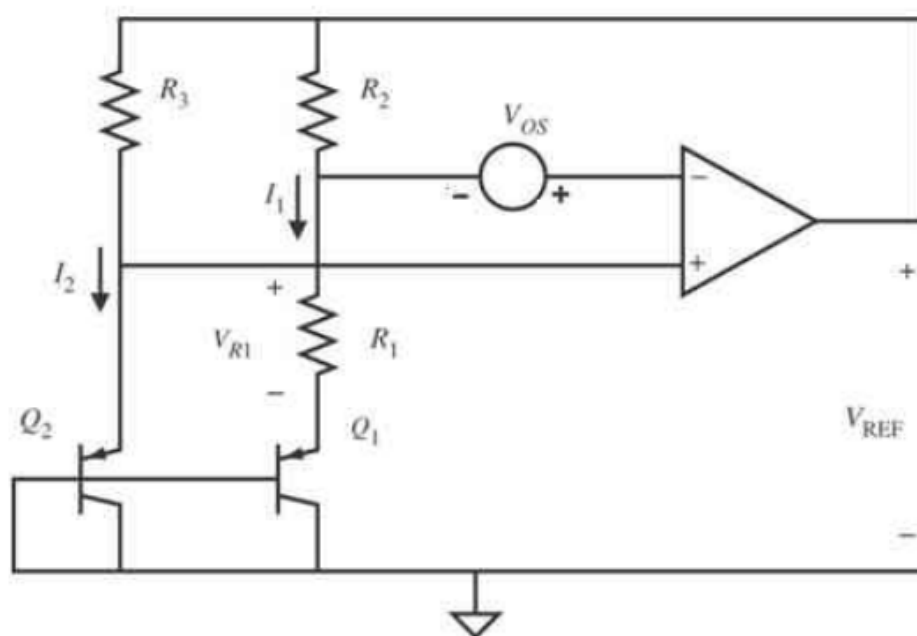


图 11 传统的带隙基准

$$V_{R1} = V_{EB2} - V_{OS} - V_{EB1} = V_T \ln \left(\frac{I_2 A_{E1}}{I_1 A_{E2}} \right) - V_{OS}$$

$$I_2 R_3 = I_1 R_2 - V_{OS}$$

$$I_2 = I_1 \frac{R_2}{R_3} \left(1 - \frac{V_{OS}}{I_1 R_2} \right)$$

$$V_{REF} = V_{EB2} + I_2 R_3 = V_{EB2} + I_1 R_2 - V_{OS}$$

$$V_{REF} = V_{EB2} - V_{OS} + \frac{V_{R1}}{R1} R_2$$

$$V_{REF} = V_{EB2} - V_{OS} + \frac{R_2}{R_1} [V_T \ln \left(\frac{A_{E1}}{A_{E2}} \frac{R_2}{R_3} \left(1 - \frac{V_{OS}}{I_1 R_2} \right) \right) - V_{OS}]$$

$$V_{REF} = V_{EB2} - \left(1 + \frac{R_2}{R_1} \right) V_{OS} + \frac{R_2}{R_1} V_T \ln \left(\frac{A_{E1}}{A_{E2}} \frac{R_2}{R_3} \left(1 - \frac{V_{OS}}{I_1 R_2} \right) \right)$$

第五章

1、式 5-1-5, P140

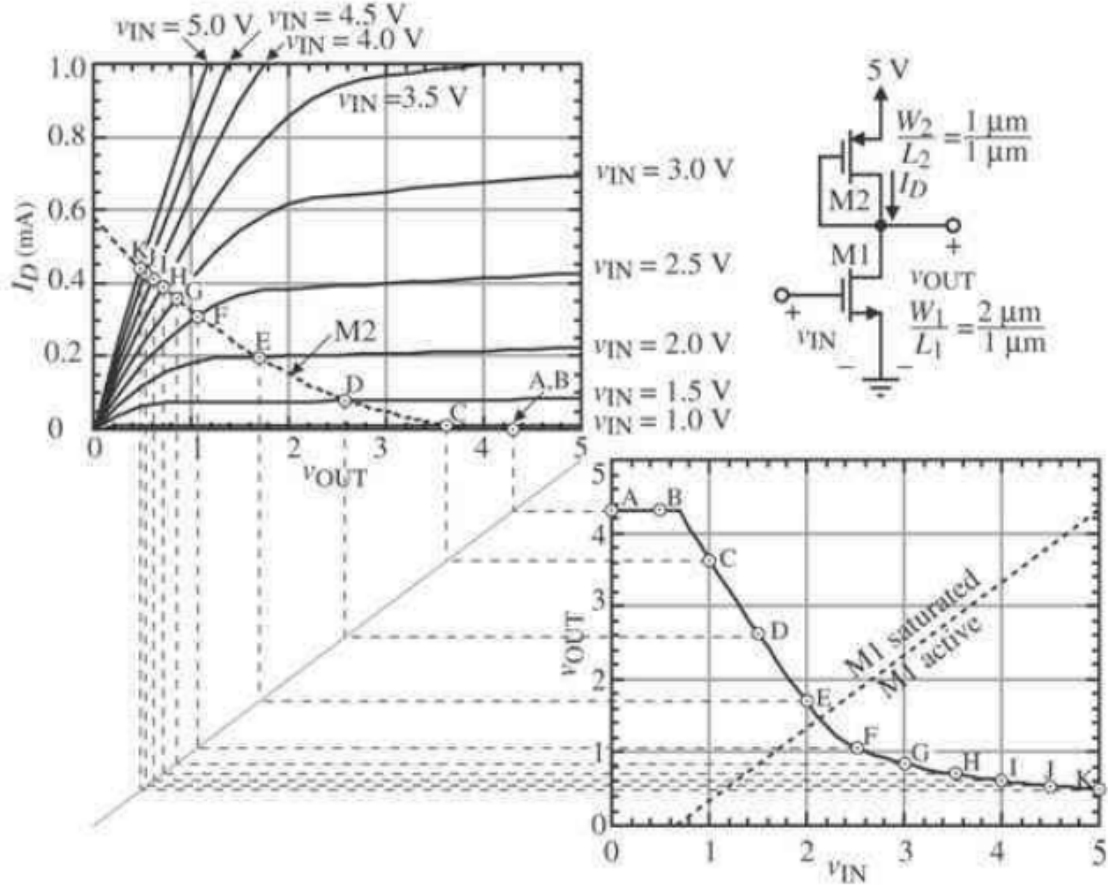


图 12 有缘负载反相器电压转移函数图解

由 $i_{D1} = i_{D2}$ 有即

$$\beta_1((V_{DD} - V_T)v_{OUT} - \frac{v_{OUT}^2}{2}) = \frac{1}{2}\beta_2(v_{OUT} + |V_{TP}| - V_{DD})^2$$

$$\beta_1(V_{DD} - V_T)v_{OUT} - \beta_1 \frac{v_{OUT}^2}{2} = \frac{\beta_2}{2}v_{OUT}^2 + \beta_2 v_{OUT}(|V_{TP}| - V_{DD}) + \frac{\beta_2}{2}(|V_{TP}| - V_{DD})^2$$

$$v_{OUT}^2 + 2(|V_{TP}| - V_{DD})v_{OUT} + \frac{\beta_2}{\beta_1 + \beta_2}(|V_{TP}| - V_{DD})^2 = 0$$

所以

$$\begin{aligned}
v_{OUT} &= V_{DD} - |V_{TP}| \pm \frac{1}{2} \sqrt{4(|V_{TP}| - V_{DD})^2 - 4 \frac{\beta_2}{\beta_1 + \beta_2} (|V_{TP}| - V_{DD})^2} \\
&= V_{DD} - |V_{TP}| \pm \sqrt{(|V_{TP}| - V_{DD})^2 (1 - \frac{\beta_2}{\beta_1 + \beta_2})} \\
&= V_{DD} - |V_{TP}| \pm (V_{DD} - |V_{TP}|) \sqrt{\frac{\beta_1}{\beta_1 + \beta_2}} \\
&= V_{DD} - |V_{TP}| \pm \frac{V_{DD} - |V_{TP}|}{\sqrt{1 + \frac{\beta_2}{\beta_1}}}
\end{aligned}$$

$$\text{我们取 } v_{OUT}(\min) = V_{DD} - |V_{TP}| - \frac{V_{DD} - |V_{TP}|}{\sqrt{1 + \frac{\beta_2}{\beta_1}}}$$

这里取“—”号，因为这里的输出电压仅有 M1 决定，所以最小值应该取方程解中的最小值，注意同差分中的 ICMR 求解的区别，差分中的范围求解受到两路的限制，所以差分中的输出电压的最大值应取解中的最小值（就是最大中的取最小），最小值取解中的最大值（就是最小取最大）。

2、式 5-1-9，P140

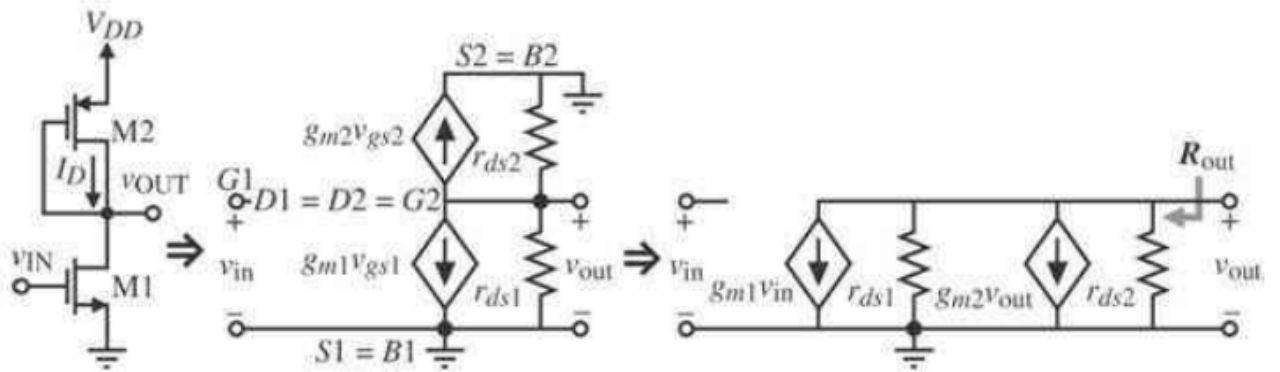


图 13 有源负载反相器的小信号模型

考虑频率特性时，只要在小信号模型中将每个管子的 S、G、D、B 四个节点标注在图中，四者经过组合后，就自然得到了寄生电容，而不必从电路结构图中再去细细分析他们的关系。

列节点方程

$$V_{out}(sC_{out} + G_{out}) + sC_M(V_{out} - V_{in}) + g_m V_{in} = 0$$

$$V_{out}(sC_{out} + G_{out} + sC_M) + (g_m - sC_M)V_{in} = 0$$

$$\text{得到: } \frac{V_{out}(s)}{V_{in}(s)} = \frac{sC_M - g_m}{sC_{out} + G_{out} + sC_M}$$

$$= \frac{-R_{out}(g_m - sC_M)}{R_{out}(sC_{out} + G_{out} + sC_M)} = \frac{-g_m R_{out}(1 - \frac{sC_M}{g_m})}{1 + \frac{s(C_{out} + C_M)}{g_{m2}}} = \frac{-g_m R_{out}(1 - \frac{s}{z_1})}{1 - \frac{s}{p_1}}$$

$$\text{其中 } z_1 = \frac{g_m}{C_M}, \quad p_1 = \frac{-1}{R_{out}(C_{out} + C_M)} \cong -\frac{g_{m2}}{C_{out} + C_M} = -\frac{\sqrt{2K_2 \frac{W_2}{L_2} I_{D2}}}{C_{out} + C_M}$$

3、例题 5.1-1, P141

输出电压范围

$$v_{OUT}(\max) \cong V_{DD} - |V_{TP}| = 5V - 0.7V = 4.3V$$

$$v_{OUT}(\min) = V_{DD} - |V_{TP}| - \frac{V_{DD} - |V_{TP}|}{\sqrt{1 + \frac{\beta_2}{\beta_1}}} = 5V - 0.7V - \frac{5V - 0.7V}{\sqrt{1 + \frac{50\mu A/V^2}{110 \times 2\mu A/V^2}}} \cong 0.418V$$

$$A_v = -\frac{g_{m1}}{g_{m2} + g_{ds1} + g_{ds2}} \cong -\frac{g_{m1}}{g_{m2}} = -\sqrt{\frac{\beta_1}{\beta_2}} = -\sqrt{\frac{K_1 \frac{W_1}{L_1}}{K_2 \frac{W_2}{L_2}}} = -\sqrt{\frac{110 \times 2\mu A/V^2}{50\mu A/V^2}} \cong -2.098$$

$$R_{out} = \frac{1}{g_{m2} + g_{ds1} + g_{ds2}} \cong \frac{1}{\sqrt{2\beta_2 I_D} + (\lambda_1 + \lambda_2)I_D}$$

$$= \frac{1}{\sqrt{2 \times 50\mu A/V^2 \times 100\mu A} + (0.04V^{-1} + 0.05V^{-1}) \times 100\mu A} \cong 9.17K\Omega$$

输出电阻还可以近似为

$$R_{out} \cong \frac{1}{g_{m2}} = \frac{1}{\sqrt{2\beta_2 I_D}} = \frac{1}{\sqrt{2 \times 50\mu A/V^2 \times 100\mu A}} = 10K\Omega$$

零点为:

$$z_1 = \frac{g_m}{C_M} = \frac{g_{m1}}{C_M} = \frac{\sqrt{2K_1 \frac{W_1}{L_1} I_{D1}}}{C_{gd1}} = \frac{\sqrt{2 \times 110\mu A/V^2 \times 2 \times 100\mu A}}{0.5fF} \cong 4.2 \times 10^{11} rad/s$$

极点为:

$$p_1 = \frac{-1}{R_{out}(C_{out} + C_M)} = \frac{-1}{9.17K\Omega \times (10fF + 10fF + 2fF + 0.5fF + 1pF)} \cong -106.7 \times 10^6 rad/s$$

$$3\text{ dB 带宽为 } \frac{|p_1|}{2\pi} = \frac{106.7 \times 10^6 \text{ rad/s}}{2\pi} \cong 17\text{ MHz}$$

4、式 5.1-19, P143

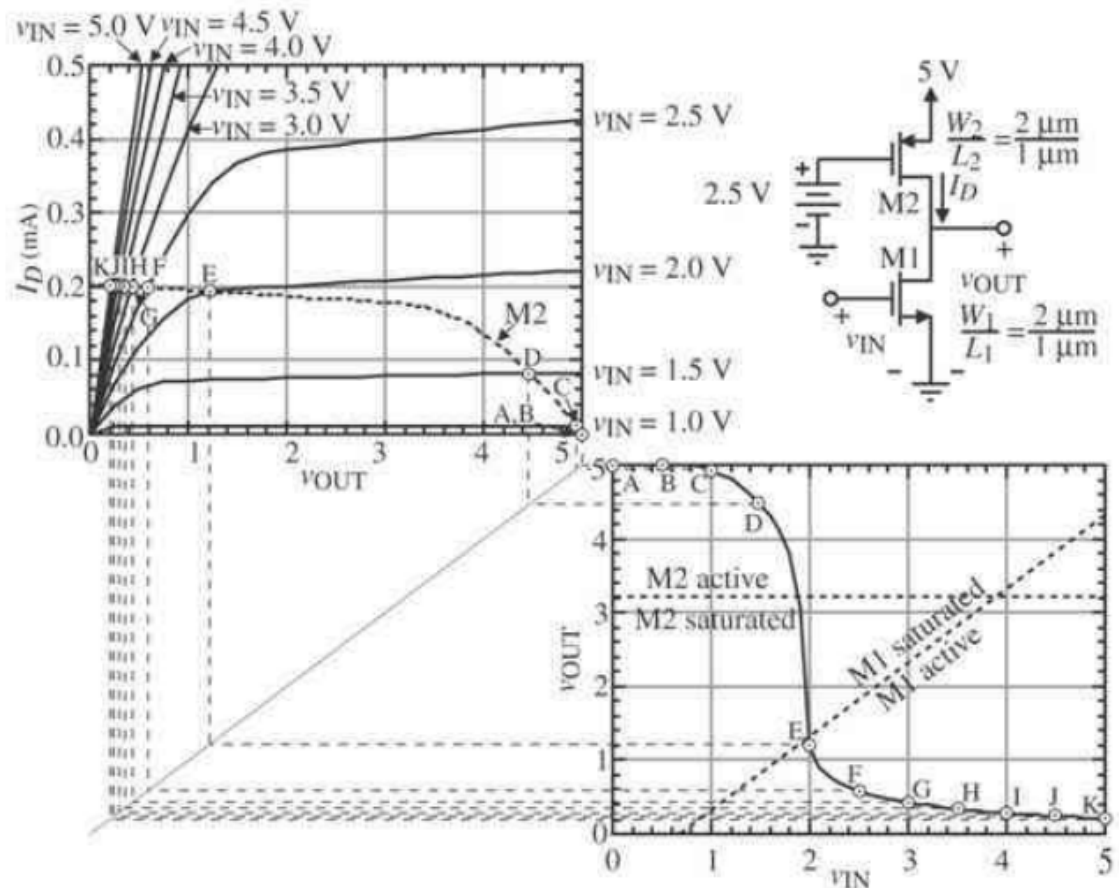


图 14 电流源负载反相器的电压传递函数图解

$$i_{D1} = i_{D2}, \text{ 令 } v_{IN} = V_{DD}$$

$$\text{得到: } \beta_1((V_{DD} - V_T)v_{OUT} - \frac{v_{OUT}^2}{2}) = \frac{1}{2}\beta_2(V_{SG2} - |V_{TP}|)^2$$

$$\text{即 } \beta_1(V_{DD} - V_T)v_{OUT} - \beta_1\frac{v_{OUT}^2}{2} = \frac{1}{2}\beta_2(V_{SG2} - |V_{TP}|)^2$$

$$v_{OUT}^2 - 2(V_{DD} - V_T)v_{OUT} + \frac{\beta_2}{\beta_1}(V_{SG2} - |V_{TP}|)^2 = 0$$

$$\text{所以 } v_{OUT} = V_{DD} - V_T \pm \frac{1}{2}\sqrt{4(V_{DD} - V_T)^2 - 4\frac{\beta_2}{\beta_1}(V_{SG2} - |V_{TP}|)^2}$$

$$= (V_{DD} - V_T) \pm (V_{DD} - |V_{TP}|) \sqrt{1 - \frac{\beta_2}{\beta_1} \left(\frac{V_{SG2} - |V_{TP}|}{V_{DD} - V_T} \right)^2}$$

因为 M1 决定了反相器的输出电压的范围，所以输出电压的最小值应该取方程中的最小值，

$$\text{即 } v_{OUT}(\min) = V_{DD} - V_T - (V_{DD} - |V_{TP}|) \sqrt{\frac{\beta_2}{\beta_1} \frac{V_{SG2} - |V_{TP}|}{V_{DD} - V_T}}$$

5、例 5.1-2, P144

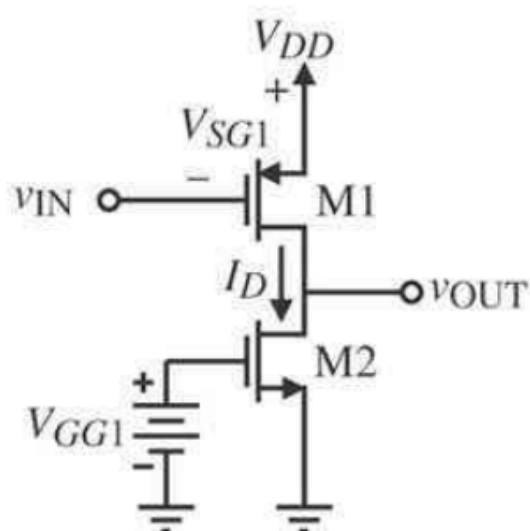


图 15 电流漏

$$A_v = -\frac{g_{m1}}{g_{ds1} + g_{ds2}} = -\sqrt{\frac{2K_1 \frac{W_1}{L_1}}{I_D}} \times \left(\frac{-1}{\lambda_1 + \lambda_2} \right)$$

$$= -\sqrt{\frac{2 \times 110 \mu A/V^2 \times 2}{291 \mu A}} \times \frac{-1}{(0.4V^{-1} + 0.5V^{-1})} \cong -9.2$$

$$R_{out} = \frac{1}{g_{ds1} + g_{ds2}} \cong \frac{1}{(\lambda_1 + \lambda_2)I_D} = \frac{1}{(0.4V^{-1} + 0.5V^{-1}) \times 291 \mu A} \cong 38.2 K\Omega$$

$$\text{极点 } p_1 = \frac{-1}{R_{out}(C_{out} + C_M)} = -\frac{g_{ds1} + g_{ds2}}{C_M + C_{out}} = -\frac{(\lambda_1 + \lambda_2)I_D}{C_{gd1} + (C_{gd2} + C_{db1} + C_{db2} + C_L)}$$

$$= -\frac{(0.4V^{-1} + 0.5V^{-1}) \times 291 \mu A}{0.5 fF + 0.5 fF + 10 fF + 10 fF + 1 pF} \cong -25.6 \times 10^6 rad/s$$

$$3\text{ dB 带宽为 } \frac{|p_1|}{2\pi} = \frac{25.6 \times 10^6 \text{ rad/s}}{2\pi} \cong 4.08 \text{ MHz}$$

6、例题 5.1-2 上面文字中的零极点计算，P144 页

$$p_1 = \frac{-1}{R_{out}(C_{out} + C_M)} = -\frac{g_{ds1} + g_{ds2}}{C_M + C_{out}} = -\frac{(\lambda_1 + \lambda_2)I_D}{C_{gd1} + (C_{gd2} + C_{db1} + C_{db2} + C_L)}$$

$$= -\frac{(0.4\text{V}^{-1} + 0.5\text{V}^{-1}) \times 200\mu\text{A}}{0.5\text{fF} + 0.5\text{fF} + 10\text{fF} + 10\text{fF} + 1\text{pF}} \cong -17.6 \times 10^6 \text{ rad/s}$$

$$3\text{ dB 带宽为 } \frac{|p_1|}{2\pi} = \frac{17.6 \times 10^6 \text{ rad/s}}{2\pi} \cong 2.8 \text{ MHz}$$

7、式 5.1-29， P146

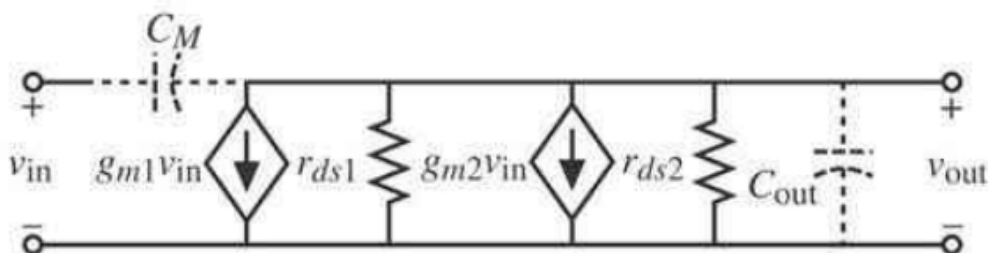


图 16 推挽反相器的小信号模型

节点方程为：

$$g_{m1}v_{in} + g_{ds1}v_{out} + g_{m2}v_{in} + g_{ds2}v_{out} = 0$$

$$(g_{m1} + g_{m2}) v_{in} + (g_{ds1} + g_{ds2}) v_{out} = 0$$

$$\text{得: } \frac{v_{out}}{v_{in}} = -\frac{g_{m1} + g_{m2}}{g_{ds1} + g_{ds2}}$$

注：与二极管接法的 pmos 管比较，找出产生差别的原因？

（因为二极管饥饿法中的 pmos 管的 g_{m2} 受输出的控制，而这里的 g_{m2} 受输入的控制，

故在最终表达式中， g_{m2} 从分母移至分子。）

8、例 5.1-3, P146

$$R_{out} = \frac{1}{g_{ds1} + g_{ds2}} \cong \frac{1}{(\lambda_1 + \lambda_2)I_D} = \frac{1}{(0.4V^{-1} + 0.5V^{-1}) \times 300\mu A} \cong 37K\Omega$$

$$p_1 = \frac{-1}{R_{out}(C_{out} + C_M)} = -\frac{1}{R_{out}((C_{gd1} + C_{gd2}) + (C_{db1} + C_{db2} + C_L))}$$

$$= \frac{1}{37K\Omega (0.5fF + 0.5fF + 1fF + 1fF + 26pF)} \cong -2.6 \times 10^6 \text{ rad/s}$$

$$3dB \text{ 带宽为 } \frac{|p_1|}{2\pi} = \frac{26 \times 10^6 \text{ rad/s}}{2\pi} \cong 4.14MHz$$

$$\begin{aligned} \text{零点为 } z_1 &= \frac{g_{m1} + g_{m2}}{C_M} = \frac{g_{m1} + g_{m2}}{C_{gd1} + C_{gd2}} = \frac{\sqrt{2\beta_1 I_{D1}} + \sqrt{2\beta_2 I_{D2}}}{C_{gd1} + C_{gd2}} \\ &= \frac{\sqrt{2 \times 1 \times 110\mu A/V^2 \times 300\mu A} + \sqrt{2 \times 2 \times 50\mu A/V^2 \times 300\mu A}}{0.5fF + 0.5fF} \end{aligned}$$

$$\cong 5.02 \times 10^{11} \text{ rad/s}$$

$$\text{频率为 } f = \frac{z_1}{2\pi} \cong 79.9GHz$$

9、公式 5.2-9 下条件 $v_{ID} < 2(\frac{I_{SS}}{\beta})^{\frac{1}{2}}$ ——即差模输入范围的推导，P150

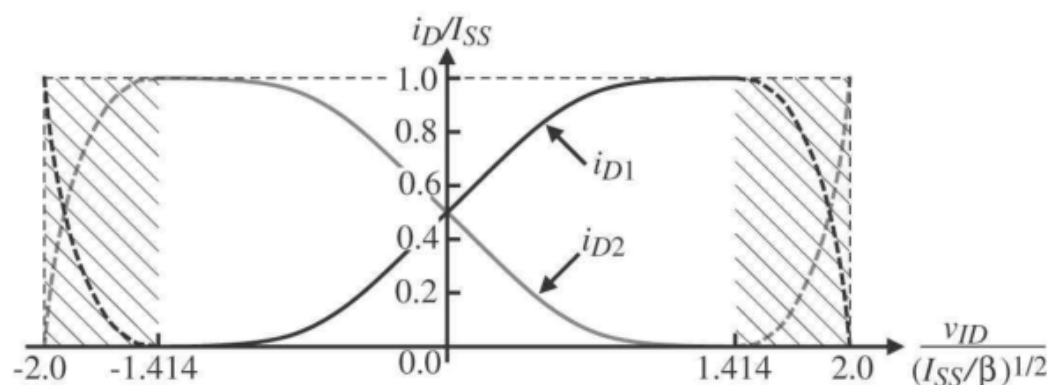


图 17 CMOS 差分放大器的大信号跨导特性

法一：数学方法，认为 $\sqrt{\quad}$ 下应该大于0。

法二：电路分析。

给 M_1 施加一个 v_{ID} ，为使偏置电流 I_{SS} 完全流过两个晶体管中的一个，对 v_{ID} 要有限制。

设 M_1 中电流等于 I_{SS} ，同时减小至开启电压，有 $V_{DS5} = -V_T$ 。

$$V_{GS1} = V_T + \sqrt{\frac{2I_{SS}}{K'_N \frac{W}{L}}} = V_T + \sqrt{2}V_{ON}, \quad V_{ON} \text{ 为漏极电流为 } \frac{I_{SS}}{2} \text{ 是的过驱动电压，使偏置}$$

电流完全流过 M_1 。

$$\text{所以 } v_{ID\max} = V_{GS1} + V_{DS5} = V_T + \sqrt{2}V_{ON} - V_T = \sqrt{2}V_{ON}。$$

反过来 M_1 截止， M_2 导通， v_{ID} 可达到 $-\sqrt{2}V_{ON}$ 。

$$\text{所以 } -\sqrt{2}V_{ON} \leq v_{ID} \leq \sqrt{2}V_{ON},$$

$$\text{即 } -\sqrt{2}\sqrt{\frac{2I_{SS}}{\beta}} \leq v_{ID} \leq \sqrt{2}\sqrt{\frac{2I_{SS}}{\beta}},$$

$$-2\sqrt{\frac{I_{SS}}{\beta}} \leq v_{ID} \leq 2\sqrt{\frac{I_{SS}}{\beta}}。$$

10、图 5.2-5 输入共模范围推导，P153

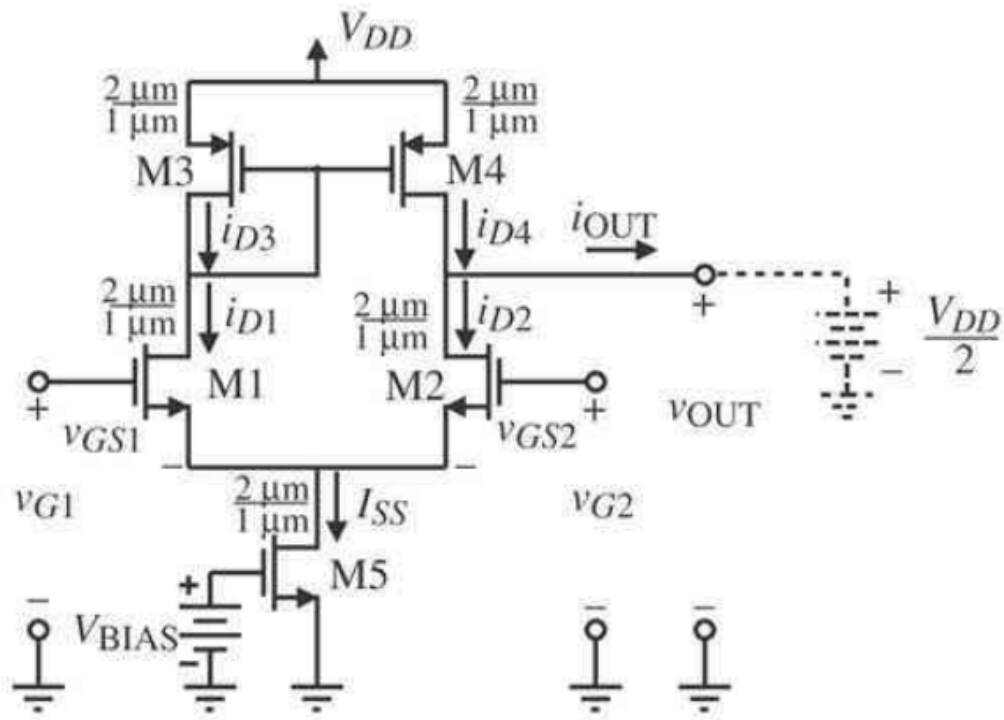


图 18 电流源负载的 CMOS 差分放大器

从 V_{IC} 到 V_{DD} 有 M_1, M_3 和 M_2, M_4 两个路径，从 V_{IC} 到 V_{SS} 仅有 M_5 一个路径。由 MOS 管的饱和条件可知， V_{IC} 增大可使 V_{IC} 到 V_{DD} 支路 MOS 管退出饱和区，故从 V_{IC} 到 V_{DD} 支路决定了 V_{IC} 的最大值；而 V_{IC} 减小可使 M_5 退出饱和区，故 M_5 决定了 V_{IC} 的最小值。

求最大值：

(1) 支路 M_1, M_3

因为 M_3 已经无条件饱和，所以只要考虑 M_1 管。

$$V_{DS1} \geq V_{GS1} - V_{T1}$$

$$V_{D1} \geq V_{G1} - V_{T1}$$

$$V_{DD} - V_{SG3} \geq V_{G1} - V_{T1}$$

$$V_{G1} \leq V_{DD} - V_{SG3} + V_{T1} \quad (1)$$

(2) 支路 M_2, M_4

$$V_{DS2} \geq V_{GS2} - V_{T2}$$

$$V_{D2} \geq V_{G2} - V_{T2}$$

$$V_{DD} - V_{SD4} \geq V_{G2} - V_{T2}$$

$$V_{G2} \leq V_{DD} - V_{T2} + V_{SD4}$$

其中 V_{SD4} 要满足下式: $V_{SD4} \geq V_{SG4} - |V_{TP}|$

称满足 $V_{G2} \leq V_{DD} - V_{T2} + V_{SD4}$ 的 V_{SD4} 为 $V_{SD4(sat)}$, 所以得到

$$V_{G2} \leq V_{DD} - V_{T2} + V_{SD4(sat)} \quad (2)$$

比较 (1) 和 (2), 令 $V_{T1} = V_{T2}$, 而 $V_{SG3} = V_{SG4}$, $V_{SD4(sat)} = V_{SG4} - |V_{TP}| < V_{SG4} = V_{SG3}$, 所

以 $V_{G2(max)} > V_{G1(max)}$, 所以为使 $M_1 - M_4$ 均在饱和区, 取 $V_{ICmax} = V_{G1(max)} = V_{DD} - V_{SG3} + V_{T1}$ 。

求最小值

支路 M_5

设 M_5 饱和, 有 $V_{DS5(sat)} = V_{GS5} - V_{T5}$

$$V_{DS5} \geq V_{GS5} - V_{T5}$$

$$V_{IC} - V_{GS1} \geq V_{GS5} - V_{T5}$$

$$V_{IC} \geq V_{GS1} + V_{GS5} - V_{T5}$$

$$V_{G1} - V_{SS} \geq V_{GS1} + V_{GS5} - V_{T5}$$

$$V_{G1} \geq V_{SS} + V_{GS1} + V_{GS5} - V_{T5}$$

$$V_{G1} \geq V_{SS} + V_{GS1} + V_{DS5(sat)}$$

所以 $V_{IC(min)} = V_{SS} + V_{GS1} + V_{DS5(sat)}$

补充: P 沟道差分放大器输入共模范围推导

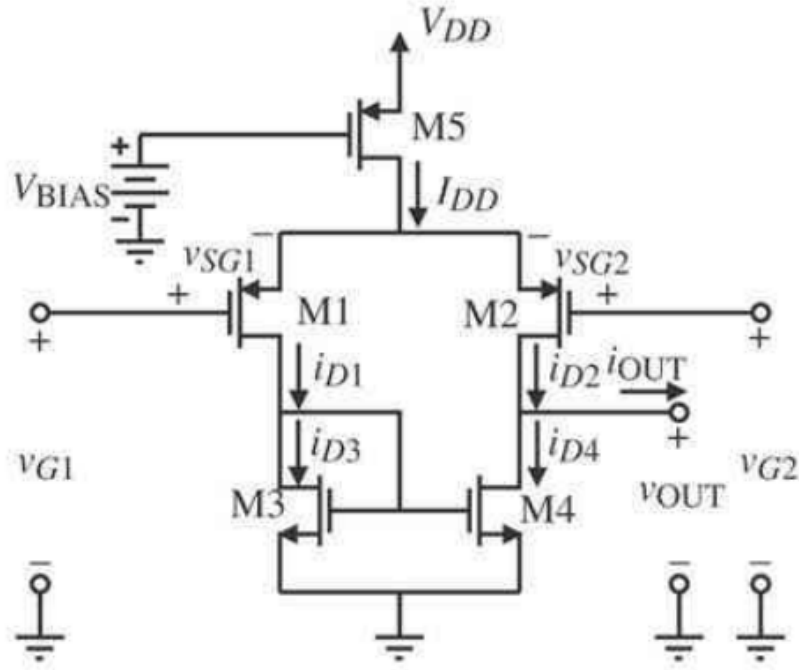


图 19 PMOS 作为输入的 CMOS 差分放大器

从 V_{IC} 到 V_{SS} 有 M_1, M_3 和 M_2, M_4 两个路径，从 V_{IC} 到 V_{DD} 仅有 M_5 一个路径。由 PMOS 管的饱和条件可知， V_{IC} 增大可使 M_5 退出饱和区，故 M_5 决定了最大值；而 V_{IC} 减小可使 V_{IC} 到 V_{DD} 支路的 MOS 管退出饱和区，故从 V_{IC} 到 V_{DD} 支路决定了 V_{IC} 的最小值。

(1) 求最大值

$$V_{SD5(sat)} = V_{SG5} - |V_{TP}|$$

$$V_{SD5} \geq V_{SG5} - |V_{TP}|$$

$$V_{DD} - V_{S1} \geq V_{SG5} - |V_{TP}|$$

$$V_{DD} - (V_{G1} + V_{SG1}) \geq V_{SD5(sat)}$$

$$V_{G1} \leq V_{DD} - V_{SG1} + V_{SD5(sat)}$$

所以 $V_{IC(max)} = V_{G1(max)} = V_{DD} - V_{SG1} + V_{SD5(sat)}$

(2) .求最小值

a.支路 M_1, M_3

因为 M_3 已经无条件饱和，所以只要考虑 M_1 管。

$$\begin{aligned}
V_{SD1} &\geq V_{SG1} - |V_{TP1}| \\
V_{G1} &\geq V_{D1} + |V_{TP1}| \\
V_{G1} &\geq V_{GS3} - V_{SS} + |V_{TP1}|
\end{aligned}$$

b. 支路 M_2, M_4

$$\begin{aligned}
V_{SD2} &\geq V_{SG2} - |V_{TP2}| \\
V_{G2} &\geq V_{D2} + |V_{TP2}| \\
V_{G2} &\geq V_{DS4(sat)} - V_{SS} + |V_{TP2}|
\end{aligned}$$

其中 V_{DS4} 要满足 $V_{DS4} \geq V_{GS4} - V_T$, $V_{DS4(sat)} = V_{GS4} - V_T$

因为 $V_{GS4} = V_{GS3}$, 所以 $V_{DS4(sat)} < V_{GS4} = V_{GS3}$, 所以 $V_{G2(min)} < V_{G1(min)}$, 因此

$$V_{IC(min)} = V_{GS3} - V_{SS} + |V_{TP1}|$$

11、式 5.2-22 的 A_v 计算, P155

$$n \text{ 管 } A_v = \frac{2}{\lambda_2 + \lambda_4} \left(\frac{K_1 W_1}{I_{SS} L_1} \right)^{\frac{1}{2}} = \frac{2}{0.4V^{-1} + 0.5V^{-1}} \sqrt{\frac{110\mu A / V^2 \times 2}{10\mu A}} \cong 104.3$$

$$p \text{ 管 } A_v = \frac{2}{\lambda_2 + \lambda_4} \left(\frac{K_1 W_1}{I_{SS} L_1} \right)^{\frac{1}{2}} = \frac{2}{0.4V^{-1} + 0.5V^{-1}} \sqrt{\frac{50\mu A / V^2 \times 2}{10\mu A}} \cong 49.95$$

12、式 5.2-29, P156

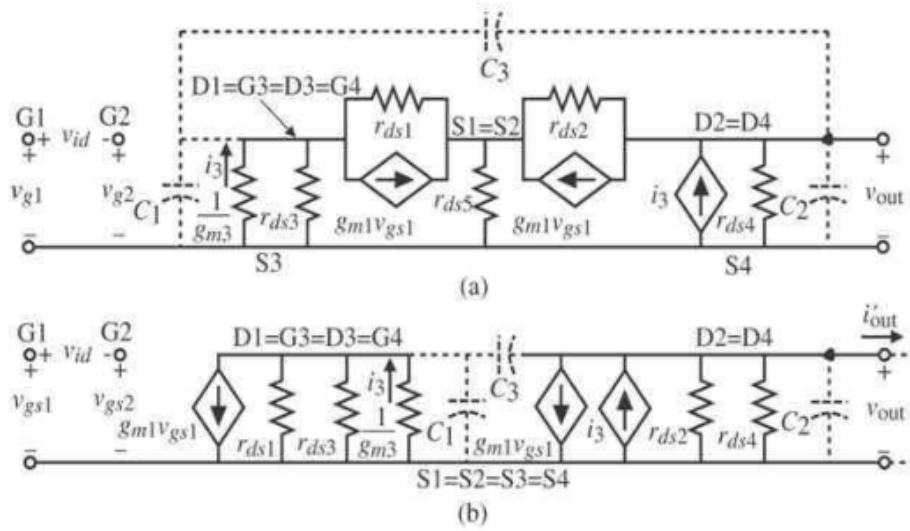


图 20 CMOS 差分放大器的小信号模型

$$\begin{cases} V_{out}(sC_2 + g_{ds2} + g_{ds4}) + g_{m1}V_{gs2}(s) - i_s = 0 \\ g_{m1}V_{gs1}(s)\left(\frac{1}{g_{m3} + sC_1}\right) \times g_{m3} = i_s \end{cases}$$

注：因为 M3 为二极管接法，则 g_{m3} 比 g_{ds1} 、 g_{ds2} 都大很多，所以并联后可以忽略 r_{ds1} 、 r_{ds2}

$$\begin{aligned} V_{out}(sC_2 + g_{ds2} + g_{ds4}) + g_{m1}V_{gs2}(s) &= g_{m1}V_{gs1}(s)\frac{g_{m3}}{g_{m3} + sC_1} \\ \therefore V_{out} &= \frac{1}{sC_2 + g_{ds2} + g_{ds4}}[V_{gs1}(s)\frac{g_{m1}g_{m3}}{g_{m3} + sC_1} - g_{m1}V_{gs2}(s)] \\ &= \frac{g_{m1}}{g_{ds2} + g_{ds4}}\left[\frac{g_{m3}}{g_{m3} + sC_1}V_{gs1}(s) - V_{gs2}(s)\right]\frac{1}{sC_2 + g_{ds2} + g_{ds4}} \\ &= \frac{g_{m1}}{g_{ds2} + g_{ds4}}\left[\frac{g_{m3}}{g_{m3} + sC_1}V_{gs1}(s) - V_{gs2}(s)\right]\frac{\omega_2}{s + \omega_2} \end{aligned}$$

$$\text{其中, } \omega_2 = \frac{g_{ds2} + g_{ds4}}{C_2}$$

13、式 5.3-6, P164

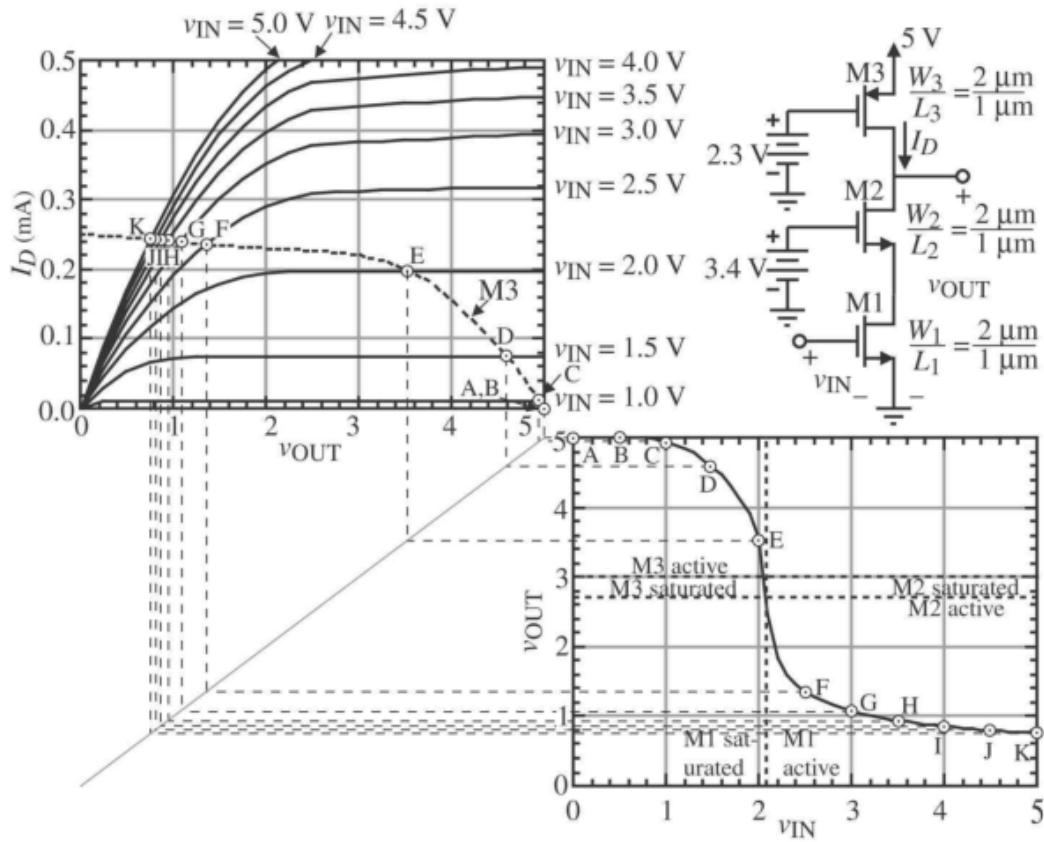


图 21 共源共栅放大器电压传递函数

$$\text{线性区 } i_D = \beta[(V_{GS} - V_T)v_{DS} - \frac{v_{DS}^2}{2}]$$

$$\therefore i_{D2} = i_{D3}$$

$$\therefore \beta_2[(V_{GG2} - v_{DS1} - V_{T2})(v_{out} - v_{DS1})] = \frac{\beta_3}{2}(V_{DD} - V_{GG3} - |V_{T3}|)^2$$

$$v_{out} = \frac{\beta_3}{2\beta_2} \frac{(V_{DD} - V_{GG3} - |V_{T3}|)^2}{V_{GG2} - V_{DS1} - V_{T2}} + v_{DS1}$$

$$\text{而 } v_{DS1} = \frac{i_D}{\beta_1(V_{DD} - V_T)} = \frac{\beta_3}{2\beta_1} \frac{(V_{DD} - V_{GG3} - |V_{T3}|)^2}{V_{DD} - V_T}$$

设 v_{DS1} 和 v_{out} 都很小,

$$\text{则 } v_{out(\min)} = \frac{\beta_3}{2\beta_2} (V_{DD} - V_{GG3} - |V_{T3}|)^2 \left(\frac{1}{V_{GG2} - V_{T2}} + \frac{1}{V_{DD} - V_{T1}} \right)$$

14、5.6 中的增益推导

5.6-4

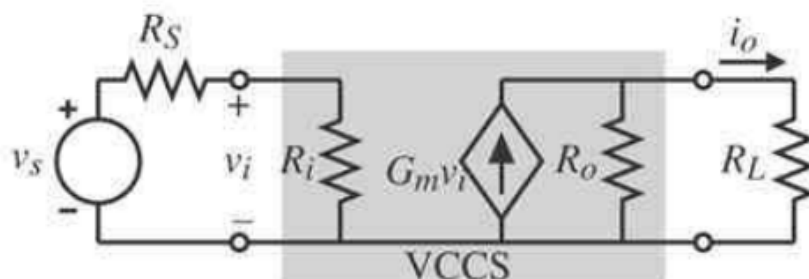


图 22 电压控制电流源电路

$$G_M = \frac{i_o}{v_s} = \frac{\frac{G_m v_i R_o R_L}{(R_o + R_L) R_L}}{\frac{v_i}{R_i} (R_S + R_i)} = \frac{G_m R_i R_o}{(R_o + R_L)(R_S + R_i)}$$

5.6-5

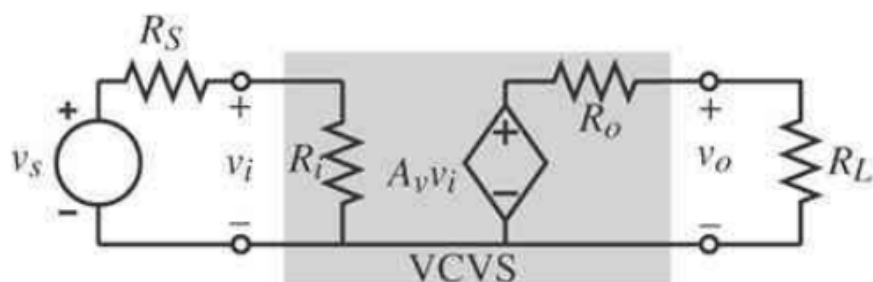


图 23 电压控制电压源电路

$$A_v = \frac{v_o}{v_s} = \frac{\frac{A_v v_i R_L}{(R_o + R_L)}}{\frac{v_i}{R_i} (R_S + R_i)} = \frac{A_v R_i R_L}{(R_o + R_L)(R_S + R_i)}$$

5.6-6

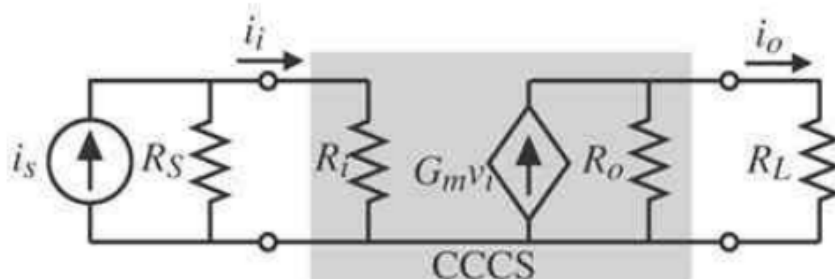


图 24 电流控制电流源电路

$$A_I = \frac{i_o}{i_s} = \frac{\frac{G_m v_i R_o R_L}{(R_o + R_L) R_L}}{\frac{v_i}{R_s} + \frac{v_i}{R_i}} = \frac{G_m R_i R_o R_s}{(R_o + R_L)(R_s + R_i)} = \frac{A_i R_o R_s}{(R_o + R_L)(R_s + R_i)}$$

5.6-7

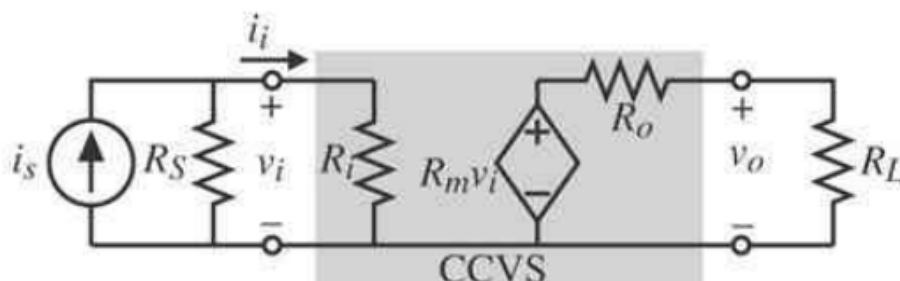


图 25 电流控制电压源电路

$$R_M = \frac{v_o}{i_s} = \frac{\frac{R_m v_i R_L}{R_o + R_L}}{\frac{i_s R_i}{R_s R_i} (R_s + R_i)} = \frac{R_m R_L R_s}{(R_o + R_L)(R_s + R_i)}$$

15、差分的跨导，P190

习题 5.2-15 中共有 5 个类似的差分放大器，由于负载的不一样，使得跨导的最终表达式不一样，下面用定义的方法来寻找差分中的一种通用的求法：

对电路 1、2、3 而言，有 $g_{m1} = \frac{I_1}{V_x^+}$ ， $g_{m2} = \frac{I_2}{V_x^-}$ ，其中 $I_1 = I_2$ ， $V_x^+ = V_x^-$

对电路 1、2 而言有：

$$G_{m\text{总}} = \frac{I_2}{V_x^+ + V_x^-} = \frac{I_1}{V_x^+ + V_x^-} = \frac{1}{\frac{V_x^+}{I_2} + \frac{V_x^-}{I_2}} = \frac{1}{\frac{1}{g_{m1}} + \frac{1}{g_{m2}}} = \frac{g_{m1} g_{m2}}{g_{m1} + g_{m2}}$$

当 $g_{m1} = g_{m2}$ ，有 $G_{m\text{总}} = \frac{g_m}{2}$ ，这是我们所熟悉的。

对电路三而言有：

$$\begin{aligned} G_{m\text{总}} &= \frac{I}{V_x^+ + V_x^-} = \frac{I_1 + I_2}{V_{\text{in}}} = \frac{g_{m1} V_x^+ + g_{m2} V_x^-}{V_{\text{in}}} \\ &= \frac{g_{m1} (V_x^+ + V_x^- - V_x^-) + g_{m2} (V_x^- + V_x^+ - V_x^+)}{V_{\text{in}}} \end{aligned}$$

$$\begin{aligned}
&= g_{m1} - g_{m1} \frac{V_x^-}{V_{in}} + g_{m2} - g_{m2} \frac{V_x^+}{V_{in}} \\
&= g_{m1} + g_{m2} - \frac{1}{V_{in}} (g_{m1} V_x^- + g_{m2} V_x^+) \\
&= g_{m1} + g_{m2} - \frac{g_{m1} + g_{m2}}{2} = \frac{g_{m1} + g_{m2}}{2}
\end{aligned}$$

结论：对差分输入的差分放大器，如果是差分输出，则 $G_m = g_{m1}$ ，如果是单端输出，为

$G_m = \frac{g_{m1}}{2}$ ；但是如果负载为电流源的情况，就应该归纳到该题的电路图 3。

16、题 5.3-7, P192

$G_{m\text{总}}$ 的分析，对电路 1 到 4 而言，有 $G_m = g_{mn}$ 或者 $G_m = g_{mp}$ ，这是因为输入管的输出电流就等于支路的电流，这就是我们平时遇到的大部分情况。而对电路 5、6 而言，却并非如此，虽然输入电压只加在一个管子的栅端，但是由于上面（或者下面）有 2 个支路，这两个支路将输入管的输出电流给固定了，这里可以借助叠加原理来理解，从而使得输入管中电流变为 2 倍，那么 $G_m = \sqrt{2\beta I_D}$ ，使得 $G_{m\text{总}} = \sqrt{2}g_{mp}$ 或者 $\sqrt{2}g_{mn}$

17、零极点的直观分析法

该书中有地方提到了零极点，我们通过传输函数可以计算出零极点，这里我提供一种个人的方法，该方法在简单的电路中，可以很快的得到零极点，这种方法可以帮助解决学习运放时遇到的公式推导麻烦的问题，希望有人可以将这个方法推广，应用到复杂的电路中。首先我们知道，对得到的传输函数令分子为零，那么计算得到的 S 就是零点，那么引申下，就是从输入到输出的电流之和为零。所以我们在小信号模型中，只要找到产生电流信号的表达式，然后使得他们的和为零，求解就可以得到零点。

1) P140

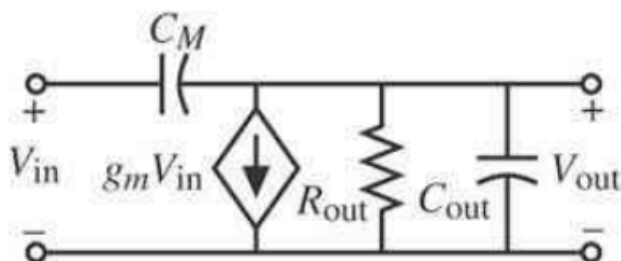


图 26 反相器的小信号模型

从这个小信号模型中，我们可以看出，该零点是因输入到输出的两个电流形成的，一条是输入信号 V_{in} 通过 C_M 直接耦合，另一条是感应电流 $g_m V_{in}$ 产生的，而且两者的方向是相反的，

他们在 V_{out} 端进行叠加，利用叠加原理，我们建立下面的表达式：

$$\frac{V_{in}}{\frac{1}{SC_M}} = g_m V_{in}$$

求解得到： $S = \frac{g_m}{C_M}$ ，该结果和通过传输函数计算的结果是一样的。

2) P146

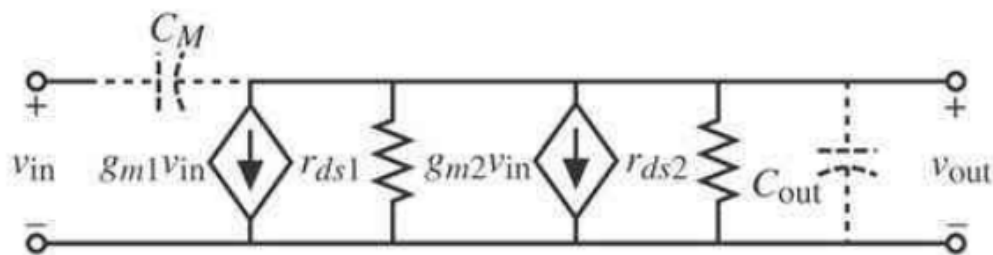


图 27 推挽反相器的小信号模型

从这个小信号模型中，我们可以看出，该零点是因输入到输出的三个电流形成的，一条是输入信号 V_{in} 通过 C_M 直接耦合，第二条是感应电流 $g_{m1}V_{in}$ 形成的，第三条是感应电流 $g_{m2}V_{in}$ 型形成的，而且输入信号 V_{in} 和感应电流的方向是相反的，他们在 V_{out} 端进行叠加，利用叠加原理，我们建立下面的表达式：

$$\frac{V_{in}}{\frac{1}{SC_M}} = (g_{m1} + g_{m2})V_{in}$$

求解得到 $S = \frac{g_{m1} + g_{m2}}{C_M} = \frac{g_{m1} + g_{m2}}{C_{gd1} + C_{gd2}}$ ，这和书上 5.1-30 的结果是一样的。

注：请注意这里的 $g_{m1}V_{in}$ 、 $g_{m2}V_{in}$ 都是由 V_{in} 通过电容 C_M 感应产生的，下面有一种情况，和这个有差别，注意比较。

3) P167

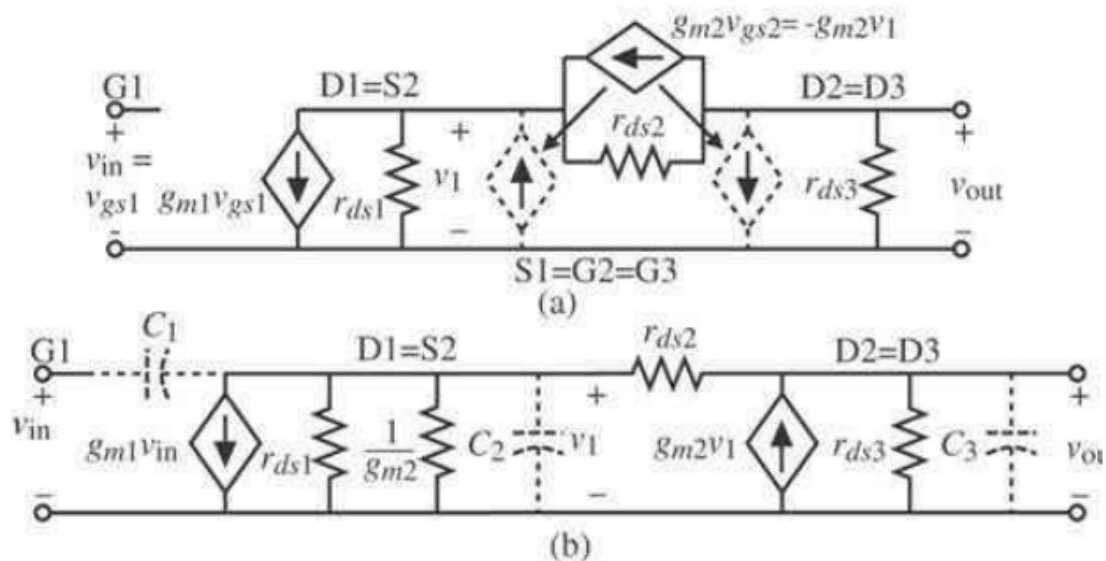


图 28 共源共栅放大器的小信号模型

从这个小信号模型中，我们可以看出，该零点是因输入到输出的三个电流形成的，一条是输入信号 V_{in} 通过 C_1 直接耦合，第二条是感应电流 $g_{m1}V_{in}$ 产生的，第三条感应电流 $g_{m2}V_1$ 是对零点没有贡献的，原因是这两个感应电流时有差别的，其中 $g_{m1}V_{in}$ 是由输入信号 V_{in} 产生的，而 $g_{m2}V_1$ 是由内部的信号 V_1 产生的，所以他们在 V_{out} 端进行叠加时， $g_{m2}V_1$ 这个电流就不能

加入，利用叠加原理，我们建立下面的表达式：
$$\frac{V_{in}}{1} = g_{m1}V_{in} \frac{1}{SC_1}$$

求解得到： $S = \frac{g_{m1}}{C_1}$ ，这和书上 5.3-27 的结果是一样的。

4) P209

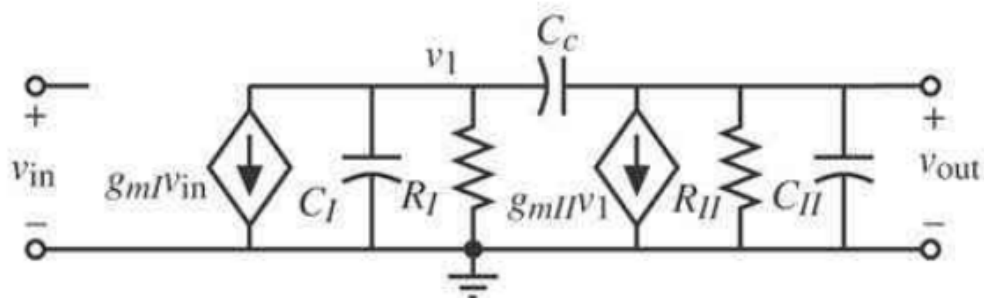


图 29 含米勒补偿电容的两级运算放大器

从这个小信号模型中，我们可以看出，该零点是因两个感应电流形成的，一条是由输入信号 V_{in} 控制的感应电流 $g_{mI}V_{in}$ 产生的，第二条感应电流 $g_{mII}V_1$ ，前面有一种情况对零点没有贡献的，而这里 $g_{mII}V_1$ 对零点时有贡献的。原因是 V_{in} 产生了 $g_{mI}V_{in}$ ，而 $g_{mI}V_{in}$ 通过 C_C 感应了

$g_{mII}V_1$ ，所以他们两个对零点都有贡献，反而 V_{in} 对零点没有直接的贡献。利用叠加原理，

我们建立下面的表达式：
$$\frac{V_{in}}{\frac{1}{SC_C}} = g_{mII}V_1$$

求解得到： $S = \frac{g_{mII}}{C_C}$ ，这和书上 6.2-13 结果一样。

5) P214

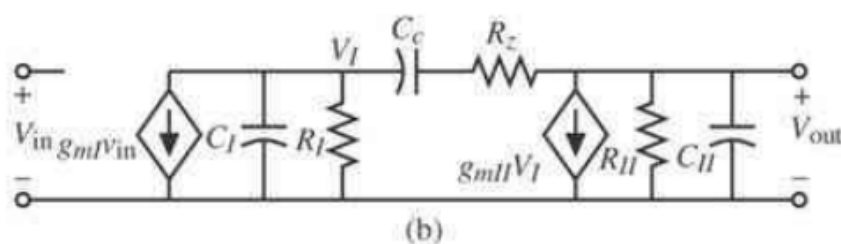


图 30 使用了调零电阻的两级运放的小信号模型

从这个小信号模型中，我们可以看出，该零点是因两个感应电流形成的，一条是由输入信号 V_{in} 控制的感应电流 $g_{mI}V_{in}$ 产生的，第二条感应电流 $g_{mII}V_1$ ，原理和前一个一样，原因是 V_{in} 产生了 $g_{mI}V_{in}$ ，而 $g_{mI}V_{in}$ 通过 C_C 感应了 $g_{mII}V_1$ ，所以他们两个对零点都有贡献，这里唯一不同的就是阻抗是一个电阻和一个电容相串联。利用叠加原理，我们建立下面的表达式：

$$\frac{V_{in}}{\frac{1}{SC_C} + R_Z} = g_{mII}V_1$$

求解得到： $S = \frac{1}{C_C(\frac{1}{g_{mII}} - R_Z)}$ ，这和书上 6.2-40 结果一样。

第六章

1、式 6.2-9, P209

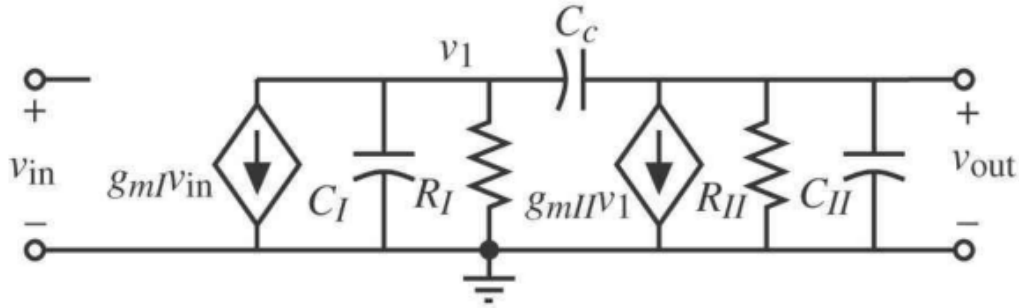


图 31 含米勒补偿电容的两级运算放大器小信号模型

$$\begin{cases} V_1(s)(sC_I + \frac{1}{R_I}) + g_{mI}V_{in}(s) + (V_1(s) - V_{out}(s))sC_c = 0 & (1) \\ V_{out}(s)(sC_{II} + \frac{1}{R_{II}}) + g_{mII}V_1(s) + (V_{out}(s) - V_1(s))sC_c = 0 & (2) \end{cases}$$

由 (1) 得：

$$V_1(s) = \frac{V_{out}(s)sC_c - g_{mI}V_{in}(s)}{sC_I + \frac{1}{R_I} + sC_c}, \text{ 代入 (2) 得:}$$

$$V_{out}(s)(sC_{II} + \frac{1}{R_{II}} + sC_c) + \frac{V_{out}(s)sC_c - g_{mI}V_{in}(s)}{sC_I + \frac{1}{R_I} + sC_c}(g_{mII} - sC_c) = 0$$

$$V_{out}(s)(sC_{II} + \frac{1}{R_{II}} + sC_c) + \frac{sC_c(g_{mII} - sC_c)}{sC_I + \frac{1}{R_I} + sC_c} - \frac{g_{mI}(g_{mII} - sC_c)}{sC_I + \frac{1}{R_I} + sC_c}V_{in}(s) = 0$$

$$\therefore \frac{V_{out}(s)}{V_{in}(s)} = \frac{\frac{g_{mI}(g_{mII} - sC_c)}{sC_I + \frac{1}{R_I} + sC_c}}{sC_{II} + \frac{1}{R_{II}} + sC_c + \frac{sC_c(g_{mII} - sC_c)}{sC_I + \frac{1}{R_I} + sC_c}}$$

$$\begin{aligned}
&= \frac{g_{m1}(g_{m11} - sC_c)}{s^2 C_1 C_{11} + \frac{sC_{11}}{R_1} + s^2 C_c C_{11} + \frac{sC_1}{R_{11}} + \frac{1}{R_1 R_{11}} + \frac{sC_c}{R_{11}} + s^2 C_c C_1 + \frac{sC_c}{R_1} + s^2 C_c^2 + sC_c g_{m11} - s^2 C_c^2} \\
&= \frac{R_1 R_{11} g_{m1} (g_{m11} - sC_c)}{s^2 C_1 C_{11} R_1 R_{11} + sC_{11} R_{11} + s^2 C_c C_{11} R_1 R_{11} + sC_1 R_1 + 1 + sC_c R_1 + s^2 C_c C_1 R_1 R_{11} + sC_c R_{11} + sC_c g_{m11} R_1 R_{11}} \\
&= \frac{(g_{m1})(g_{m11})(R_1)(R_{11})(1 - \frac{sC_c}{g_{m11}})}{1 + s[R_1(C_1 + C_c) + R_{11}(C_{11} + C_c) + g_{m11} R_1 R_{11} C_c] + s^2 R_1 R_{11} [C_1 C_{11} + C_c C_1 + C_c C_{11}]}
\end{aligned}$$

2、式 6.2-23, P212

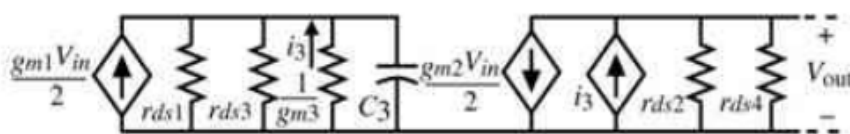
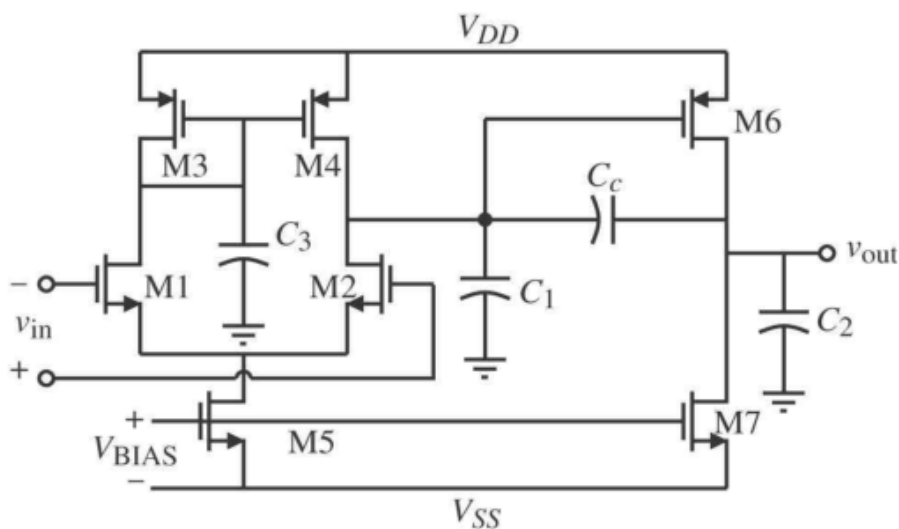


图 32 标出寄生电容的两级运放及小信号模型

$$V_{o1}(s)(g_{ds2} + g_{ds4}) + \frac{g_{m2}V_{in}(s)}{2} - i_3 = 0$$

$$i_3(s) = -\frac{g_{m1}V_{in}(s)}{2} \frac{g_{m3}}{g_{m3} + g_{ds1} + g_{ds3} + sC_3}$$

$$V_{o1}(s)(g_{ds2} + g_{ds4}) + \frac{g_{m1}V_{in}(s)}{2} \left[1 + \frac{g_{m3}}{g_{m3} + g_{ds1} + g_{ds3} + sC_3}\right] = 0$$

$$\frac{V_{o1}(s)}{V_{in}(s)} \cong -\frac{g_{m1}}{2(g_{ds2} + g_{ds4})} \left[\frac{2g_{m3} + sC_3}{g_{m3} + sC_3}\right]$$

3、单位增益带宽 GB

定义：主极点延伸与 0db (A=1) 轴的交点

证 $GB = A_{v_0} p_1$ (设 $p_2 \gg GB$)

证明：运放的传递函数

$$A(s) = \frac{A_{v_0}}{\left(\frac{s}{p_1} - 1\right)\left(\frac{s}{p_2} - 1\right)}$$

当 $s = GB$ 时, $A(s) = 1$

$$\left|\frac{s}{p_2}\right| \ll 1, \left|\frac{s}{p_1}\right| \gg 1 \Rightarrow \frac{A_{v_0}}{\frac{GB}{p_1}} = 1 \Rightarrow GB = A_{v_0} p_1$$

A_{v_0} 或 $A_v(0)$ 是频率接近 0 时的运算放大器的增益

(或 $\omega = 0$, 则 $A_v(\omega) = -20 \lg \frac{\omega}{\omega_p} = -\infty$, 故 $\omega \approx 0$, 一般 $\omega = 0.1\omega_p$)

4、式 6.2-7、6.2-8, P207

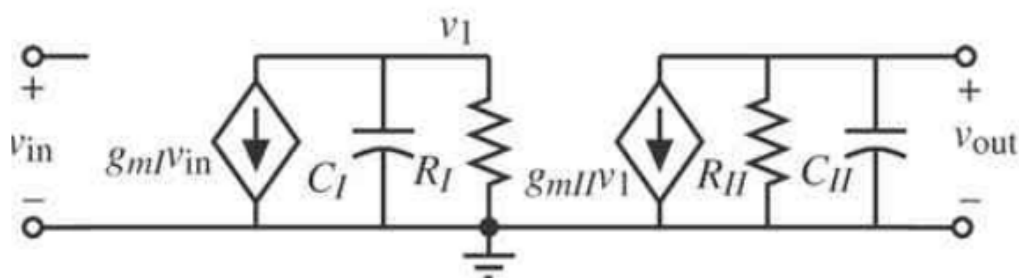


图 33 两级运放的二阶小信号模型

$$\begin{cases} v_1 \left(\frac{1}{R_I} + sC_I \right) + g_{mI} v_{in} = 0 \\ v_{out} \left(sC_{II} + \frac{1}{R_{II}} \right) + g_{mII} v_1 = 0 \end{cases}$$

$$\Rightarrow \frac{v_{out}}{v_{in}} = \frac{-\frac{g_{mII}v_1}{sC_{II} + \frac{1}{R_{II}}}}{v_1\left(\frac{1}{R_I} + sC_I\right) - \frac{g_{mI}}{sC_{II}R_{II} + 1} \frac{g_{mI}R_I}{sC_I R_I + 1}}$$

$$= \frac{g_{mI}g_{mII}R_I R_{II}}{1 + s(C_I R_I + C_{II} R_{II}) + s^2 C_I R_I C_{II} R_{II}} \cong \frac{g_{mI}g_{mII}R_I R_{II}}{1 + sC_I R_I + s^2 C_I R_I C_{II} R_{II}}$$

(因为 $p_2 = \frac{1}{C_{II}R_{II}}$ ，远离零点，所以 p_2 大， $C_{II}R_{II}$ 小，所以可以忽略 $C_{II}R_{II}$)

$$\therefore p_1 = \frac{1}{C_I R_I}, p_2 = \frac{1}{C_{II} R_{II}}$$

5、式 6.2-41，P215

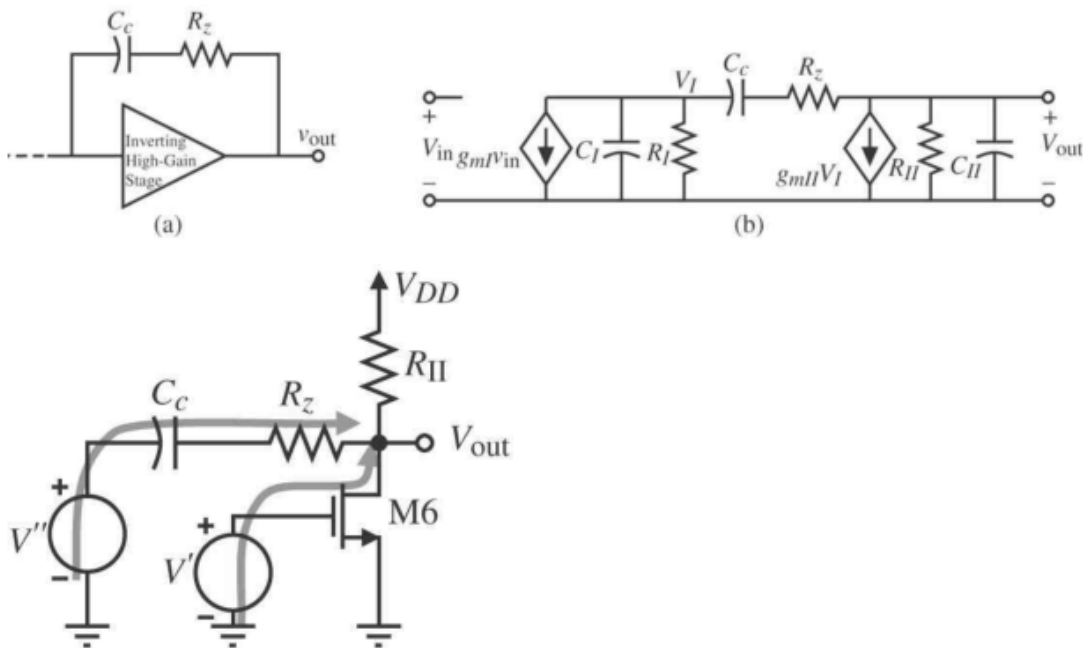


图 34 带调零电阻的两级运放的小信号模型及电阻控制 RHP 零点示意图
由叠加原理有，

$$\text{当 } V'' \text{ 存在, } V' \text{ 为 } 0 \text{ 时, } V_{out1} = \frac{V''}{R_{II} + R_z + \frac{1}{sC_c}} R_{II}$$

$$\text{当 } V' \text{ 存在, } V'' \text{ 为 } 0 \text{ 时, } V_{out2} = \frac{R_{II}(R_z + \frac{1}{sC_c})}{R_{II} + R_z + \frac{1}{sC_c}} (-g_{m6}V') \quad \left(\text{前面为 } (R_z + \frac{1}{sC_c}) R_{II}, \text{ 后面为} \right.$$

共源的输出电流)

$$\begin{aligned} \therefore V_{out} &= V_{out1} + V_{out2} = \frac{-g_{m6}R_{II}(R_z + \frac{1}{sC_c})}{R_{II} + R_z + \frac{1}{sC_c}} V' + \frac{R_{II}}{R_{II} + R_z + \frac{1}{sC_c}} V'' \\ &= \frac{-R_{II}(g_{m6}R_z + \frac{g_{m6}}{sC_c} - 1)}{R_{II} + R_z + \frac{1}{sC_c}} V \quad (\text{设 } V' = V'' = V) \end{aligned}$$

6、式 6.4-1, P231,

$$PSRR = \frac{A_v(V_{dd} = 0)}{A_{dd}(V_{in} = 0)}$$

理解: 分子为电流电压的纹波为 0 时, 即电源稳定时的增益 A_v , 此时的输入为差模输入 V_{in} ,

$A_v = \frac{\Delta V_{out}}{\Delta V_{in}}$; 分母是 $V_{in} = 0$, 电源电压的纹波 V_{dd} 作为输入时, 信号在输出端得出的增益

$$A_{dd}, \quad A_{dd} = \frac{\Delta V_{out}}{\Delta V_{dd}}$$

$$\therefore PSRR = \frac{\frac{V_{out}}{V_{in}}(V_{dd} = 0)}{\frac{V_{out}}{V_{dd}}(V_{in} = 0)} = \frac{\Delta V_{dd}}{\Delta V_{out}} A_v(s)$$

PSRR 体现的是一种抑制电源纹波干扰的能力, 故理想运放的 $A_{dd} = 0(V_{in} = 0) \therefore PSRR = \infty$

7、式 6.4-2, P231

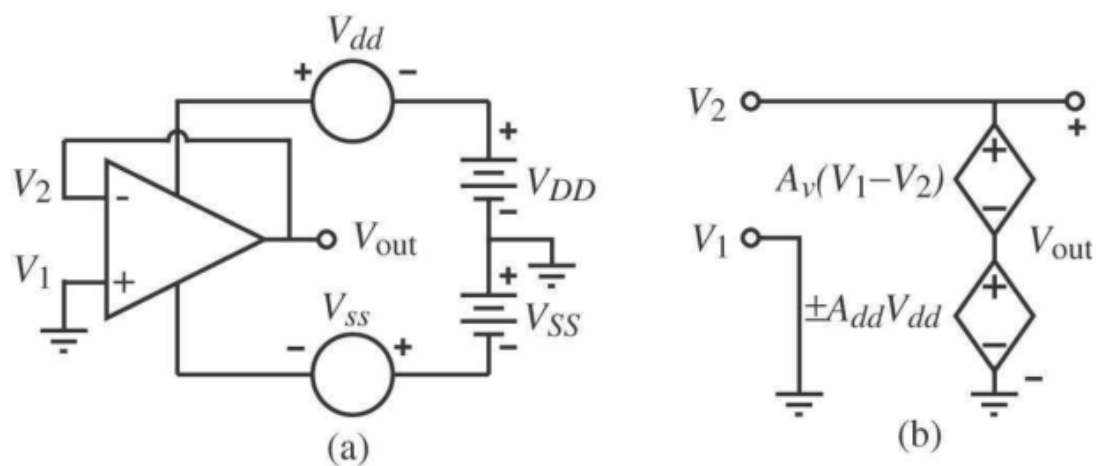


图 35 计算 PSRR 的模型

$$V_{out} = A_v(V_1 - V_2) + A_{dd}V_{dd} \quad (\text{输入信号+电源纹波})$$

$$= -A_v V_{out} + A_{dd}V_{dd}$$

$$(1 + A_v)V_{out} = A_{dd}V_{dd}$$

$$\frac{V_{out}}{V_{dd}} \cong \frac{A_{dd}}{A_v} = \frac{1}{\text{PSRR}^+}$$